



KARTOTEKA RZADKICH PTAKÓW

Kartoteka Rzadkich Ptaków w Polsce w roku 2019 – gatunki lęgowe

Łukasz Ławicki^{1,5}, Szymon Beuch^{2,5}, Tomasz Chodkiewicz^{2,3,5},
Przemysław Wylegała^{3,4,5}, Jacek Betleja⁶, Szymon Bzoma⁷,
Zdzisław Cenian⁸, Robert Cymbała^{5,9}, Paweł Czechowski^{5,10},
Stanisław Czyż^{5,11}, Piotr Dębowski^{5,12}, Andrzej Dylík^{5,13}, Andrzej Górski¹⁴,
Grzegorz Grygoruk^{5,15}, Wojciech Guzik⁵, Krzysztof Jankowski^{5,16},
Zbigniew Kajzer⁵, Dominik Krupiński¹⁷, Dorota Łukasik¹⁸,
Łukasz Matyjasiak^{5,19}, Grzegorz Neubauer²⁰, Sławomir Sielicki²¹,
Bartosz Smyk^{3,5}, Krzysztof Stasiak³, Łukasz Wardecki³, Marcin Wężyk^{5,22},
Maria Wieloch², Bartłomiej Woźniak²³, Monika Zielińska²,
Piotr Zieliński², Arkadiusz Sikora^{2,5}

¹ Eco-Expert, Dworcowa 2/317, 70-206 Szczecin; izuza@interia.pl

² Muzeum i Instytut Zoologii PAN, Wilcza 64, 00-679 Warszawa; sbeuch@miiz.waw.pl, tchodkiewicz@miiz.waw.pl, sikor@miiz.waw.pl

³ Ogólnopolskie Towarzystwo Ochrony Ptaków, Odrowąża 24, 05-270 Marki

⁴ Polskie Towarzystwo Ochrony Przyrody Salamandra, Stolarska 7/3, 60-788 Poznań; przemo@salamandra.org.pl

⁵ Kartoteka Rzadkich Ptaków, <http://rzadkieptaki.pl/koordynatorzy/>

⁶ Muzeum Górnośląskie, pl. Jana III Sobieskiego 2, 41-902 Bytom

⁷ Grupa Badawcza Ptaków Wodnych KULING, Świerkowa 34/7, 81-526 Gdynia

⁸ Komitet Ochrony Orłów, Niepodległości 53/55, 10-044 Olsztyn

⁹ Lubelskie Towarzystwo Ornitologiczne, Mełgiewska 74/209, 20-234 Lublin

¹⁰ Instytut Sportu, Turystyki i Żywności, Uniwersytet Zielonogórski, Szafrana 1, 65-516 Zielona Góra

¹¹ Małopolskie Towarzystwo Ornitologiczne, Do Wilgi 11, 30-419 Kraków

¹² Towarzystwo Badań i Ochrony Przyrody, Sienkiewicza 68, 25-501 Kielce

¹³ Kujawski Region Ornitologiczny

¹⁴ Katedra Ekologii i Ochrony Środowiska, Uniwersytet Warmińsko-Mazurski w Olsztynie, Plac Łódzki 3, 10-727 Olsztyn

¹⁵ Towarzystwo Przyrodnicze Dubelt

¹⁶ Warmińsko-Mazurski Region Ornitologiczny

¹⁷ Towarzystwo Przyrodnicze Bocian, Srebrna 16/9, 00-810 Warszawa

¹⁸ Główny Inspektorat Ochrony Środowiska, Departament Monitoringu Środowiska, Bitwy Warszawskiej 1920 r. 3, 02-362 Warszawa

- ¹⁹ Mazowiecko-Świętokrzyskie Towarzystwo Ornitologiczne, Radomska 7, 26-670 Pionki
²⁰ Pracownia Biologii Lasu, Uniwersytet Wrocławski, Sienkiewicza 21, 50-335 Wrocław
²¹ Stowarzyszenie Na Rzecz Dzikich Zwierząt Sokół; Promienna 11, 87-800 Włocławek
²² Piotrkowskie Towarzystwo Przyrodnicze, 1 Maja 21/5, 97-300 Piotrków Trybunalski
²³ Samodzielny Zakład Zoologii Leśnej i Łowiectwa, Instytut Nauk Leśnych, SGGW, Nowoursynowska 159, 02-776 Warszawa

Abstrakt: Raport podsumowuje wyniki zebrane w Kartotece Rzadkich Ptaków dotyczące gatunków lęgowych w Polsce w roku 2019. Scharakteryzowano populacje lęgowe 32 rzadkich taksonów (30 gatunków i 2 podgatunków), w tym ich liczebność, rozmieszczenie i trendy. Zróżnicowane okresy do oceny trendów podano w przeglądzie gatunków. Wysoką lub rekordową liczebność odnotowano dla: łabędzia krzykliwego *Cygnus cygnus* (190 par), gęsiówki egipskiej *Alopochen aegyptiaca* (27 p.), helmiatki *Netta rufina* (52 p.), podgorzałki *Aythya nyroca* (131 p.), mandarynki *Aix galericulata* (96 p.), dubelta *Gallinago media* (345 samców), ślepowrona *Nycticorax nycticorax* (1 293 p.), czapli białej *Ardea alba* (378 p.), puszczyka mszarnego *Strix nebulosa* (10 p.), sokoła wędrownego *Falco peregrinus* (49 p.) i wodniczki *Acrocephalus paludicola* (4 500 s.). Trend spadkowy dotyczył m.in.: mewy czarnogłowej *Ichthyaetus melanocephalus* (42 p.), rybołowa *Pandion haliaetus* (27 p.) i kraski *Coracias garrulus* (13 p.). Populacje ostrygojada *Haematopus ostralegus* (26 p.), kulika wielkiego *Numenius arquata* (167 p.), orlika grubodziobego *Clanga clanga* (17 p.; w tym 8 czystych par) i orła przedniego *Aquila chrysaetos* (33 p.) utrzymywały się na stabilnym poziomie. Populacja rybitwy czubatej *Thalasseus sandvicensis* (130 p.) poniosła całkowite straty lęgowe. Poza główną ostoją (Bagna Biebrzańskie) odnotowano w kraju 35 p. pliszki cytrynowej *Motacilla citreola*. Następujące taksony nie przekroczyły liczby 5 p.: bernikla kanadyjska *Branta canadensis* (1 p.), szcudłak *Himantopus himantopus* (1 p.), gadożer *Circaetus gallicus* (3 p.), uszatka błotna *Asio flammeus* (5 p.), „srokosz stepowy” *Lanius excubitor homeyeri* (1 p.), czarnowron *Corvus corone* (3 p. mieszane z wrona siwą *C. cornix*), pomurnik *Tichodroma muraria* (min. 1 p.) i „pliszka tundrowa” *M. flava thunbergi* (4 p.). Nie wykryto lęgów szablodzioba *Recurvirostra avosetta*, aleksandretty obrożnej *Psittacula krameri*, wójcika *Phylloscopus trochiloides* i drożdżzika *Turdus iliacus*, gniazdujących w poprzednich latach.

Słowa kluczowe: rzadkie ptaki lęgowe, rozmieszczenie, liczebność, trendy, regiony, Polska, raport 2019

Rare Birds Panel in Poland – report 2019 for breeding species. Abstract: The report of the Rare Birds Panel presents abundance estimates for 32 rare breeding taxa (30 species and 2 subspecies) in Poland for 2019. The high or maximum numbers were recorded for: the Whooper Swan *Cygnus cygnus* (190 pairs), Egyptian Goose *Alopochen aegyptiaca* (27 p.), Red-crested Pochard *Netta rufina* (52 p.), Ferruginous Duck *Aythya nyroca* (131 p.), Mandarin Duck *Aix galericulata* (96 p.), Great Snipe *Gallinago media* (345 males), Black-crowned Night Heron *Nycticorax nycticorax* (1293 p.), Great Egret *Ardea alba* (378 p.), Great Grey Owl *Strix nebulosa* (10 p.), Peregrine Falcon *Falco peregrinus* (49 p.) and Aquatic Warbler *Acrocephalus paludicola* (4500 m.). The declining trend concerned the Mediterranean Gull *Ichthyaetus melanocephalus* (42 p.), Western Osprey *Pandion haliaetus* (27 p.) and European Roller *Coracias garrulus* (13 p.). The population of the Eurasian Oystercatcher *Haematopus ostralegus* (26 p.), Eurasian Curlew *Numenius arquata* (167 p.), Greater Spotted Eagle *Clanga clanga* (17 p.; including 8 pure pairs) and Golden Eagle *Aquila chrysaetos* (33 p.) remained stable. The population of the Sandwich Tern *Thalasseus sandvicensis* (130 p.) failed to produce any young. Outside the Biebrza Marshes 35 p. of the Citrine Wagtail *Motacilla citreola* were found. No more than 5 pairs were recorded for the Canada Goose *Branta canadensis* (1 p.), Black-winged Stilt *Himantopus himantopus* (1 p.), Short-toed Snake Eagle *Circaetus gallicus* (3 p.), Short-eared Owl *Asio flammeus* (5 p.), Homeyer's Grey Great Shrike *Lanius excubitor homeyeri* (1 p.), Carrion Crow *Corvus corone* (3 p. mixed with Hooded Crow *C. cornix*), Wallcreeper *Tichodroma muraria* (min. 1 p.) and Grey-headed Wagtail *M. flava thunbergi* (4 p.). There were no breeding records of the Pied Avocet *Recurvirostra avosetta*, Rose-ringed Parakeet *Psittacula krameri*, Greenish Warbler *Phylloscopus trochiloides* and Redwing *Turdus iliacus*.

Key words: rare breeding species, distribution, numbers, trends, regions, Poland, report 2019

Niniejszy raport podsumowuje dane zgromadzone w ramach działającej przy Muzeum i Instytucie Zoologii Polskiej Akademii Nauk Kartoteki Rzadkich Ptaków (KRP) (Komisja Faunistyczna & Kartoteka Rzadkich Ptaków 2018). W roku 2019 raportowaniem objęto 32 taksony (30 gatunków i 2 podgatunki) rzadko gniazdujących ptaków w Polsce.

Material i metody

Materiały do raportu dla 13 gatunków pochodzą przede wszystkim z Monitoringu Ptaków Polski (MPP) realizowanego w ramach Państwowego Monitoringu Środowiska i prowadzonego przez Główny Inspektorat Ochrony Środowiska dzięki finansowaniu Narodowego Funduszu Ochrony Środowiska i Gospodarki Wodnej (www.monitoringptakow.gios.gov.pl). Od początku funkcjonowania MPP działania te realizują Ogólnopolskie Towarzystwo Ochrony Ptaków oraz Muzeum i Instytutu Zoologii PAN, we współpracy z innymi organizacjami (np. Chylarecki et al. 2018, Chodkiewicz et al. 2018, 2019, Wardecki et al. 2021). Materiały te uzupełniono danymi z: 1) kartotek regionalnych – Baza obserwacji Małopolskiego Towarzystwa Ornitologicznego dbPtak, Kartoteka Awifauny Lubelszczyzny, Kartoteka Awifauny Śląska, Kartoteka Mazowiecko-Świętokrzyskiego Towarzystwa Ornitologicznego, Kartoteka Przyrodnicza Towarzystwa Badań i Ochrony Przyrody, Kartoteka Ornitologiczna Ziemi Łódzkiej, Pomorska Kartoteka Ornitologiczna, Warmińsko-Mazurska Kartoteka Ornitologiczna, Wielkopolska Kartoteka Ornitologiczna); 2) portalu ornitho.pl (www.ornitho.pl); 3) projektu „Realizacja Krajowego Planu Ochrony Kulika Wielkiego

Tabela 1. Regiony, w których zbierane są informacje w Kartotece Rzadkich Ptaków oraz ich powierzchnia, liczba kwadratów i koordynatorzy

Table 1. Regions of data collection within the Rare Birds Panel (1) and their area (2), number of 10 × 10 km plots (3) and coordinators (4)

Region (1)	Powierzchnia [km ²] (2)	Liczba kwadratów 10 × 10 km (3)	Koordynatorzy (4)
Dolny Śląsk (DS)	24 709	274	Bartosz Smyk
Górny Śląsk (GS)	11 928	135	Szymon Beuch
Kujawy (KU)	12 417	124	Andrzej Dylík
Lubelszczyzna (LL)	21 269	227	Robert Cymbała
Małopolska (MP)	20 075	214	Stanisław Czyż
Mazowsze (MZ)	39 995	404	Łukasz Matyjasiak
Podlasie (PL)	18 672	207	Grzegorz Grygoruk
Podkarpacie (PK)	18 018	198	Wojciech Guzik
Pomorze (PM)	46 159	507	Zbigniew Kajzer
Warmia i Mazury (WM)	23 583	247	Krzysztof Jankowski
Wielkopolska (WP)	35 836	358	Przemysław Wylegała
Ziemia Lubuska (ZL)	11 484	124	Paweł Czechowski
Ziemia Łódzka (LD)	14 520	145	Marcin Wężyk
Ziemia Świętokrzyska (SW)	14 014	140	Piotr Dębowski
Polska	312 679	3 304	Szymon Beuch, Tomasz Chodkiewicz, Łukasz Ławicki, Arkadiusz Sikora, Przemysław Wylegała



Rys. 1. Podział Polski na regiony, do których przypisane są wyniki zebrane w ramach Kartoteki Rzadkich Ptaków. Skrótów nazw regionów objaśniono w tabeli 1

Fig. 1. The division of Poland into regions of data collection within the Rare Birds Panel (KRP). Abbreviations of region names are explained in Table 1

– etap I”, współfinansowanego ze środków UE (POIIŚ 2014–2020), realizowanego przez Towarzystwo Przyrodnicze Bocian; 4) Stowarzyszenia Na Rzecz Dzikich Zwierząt Sokół (projekt współfinansowany w ramach dotacji unijnej Infrastruktura i Środowisko oraz ze środków Wojewódzkiego Funduszu Ochrony Środowiska we Wrocławiu); 5) stron internetowych, np. www.clanga.com, Atlas Sów Polski Stowarzyszenia Ochrony Sów i stron regionów ornitologicznych; 6) publikowanych lub niepublikowanych raportów o rzadkich ptakach dla poszczególnych obszarów; 7) publikacji zawierających informacje o gatunkach rzadkich; 8) danych pochodzących bezpośrednio od obserwatorów.

Dane zestawiono dla 14 regionów. W porównaniu do poprzedniego raportu (Sikora et al. 2020) od roku 2019 wyodrębniono nowy region – Podkarpacie (rys. 1, tab. 1). Granice regionów wytyczono w oparciu o siatkę kwadratów 10×10 km w układzie współrzędnych 1992 (rys. 1). Układ ten jest aktualnie stosowany w regionalnych atlasach rozmieszczenia ptaków oraz podczas wyznaczania powierzchni w MPP. Podział na regiony przyjęty na potrzeby działania KRP nie oznacza, że we wszystkich przypadkach granice te pokrywają się ściśle z granicami poszczególnych regionów ornitologicznych. Zastosowanie jednolitego systemu pozycjonowania przestrzennego opartego na koordynatach geograficznych i kwadratach 10×10 km (lub ich części w siatce 1×1 km) umożliwia wykorzystanie danych do prezentowania informacji o ptakach niezależnie od zmieniających się podziałów administracyjnych, czy nie zawsze bezspornie ustalonych

granic regionów ornitologicznych. Łączny obszar kraju, dla którego rejestrowano dane o ptakach lęgowych, wynosi 312 679 km² (wliczono tu morskie wody wewnętrzne obejmujące zalewy przymorskie).

Zakres prezentowanych wyników

W raporcie omówiono gatunki o liczebności populacji krajowej do 300 par oraz cztery liczniejsze, jednak występujące na niewielkim obszarze, tj. dubelta *Gallinago media*, ślepowrona *Nycticorax nycticorax*, czaplę białą *Ardea alba* i wodniczkę *Acrocephalus paludicola* (Chodkiewicz et al. 2019). Wprawdzie liczebnością do 300 par charakteryzuje się jeszcze ok. 50 gatunków lęgowych, jednak nie zostały one uwzględnione w KRP z uwagi na niekompletność danych w skali kraju, np. z powodu trudności metodycznych w ocenie corocznej liczebności populacji lęgowej; wyjątkami są tu drożdżnik *Turdus iliacus*, dla którego dane są niekompletne, ale jednocześnie populacja silnie spada i wymaga on specjalnej uwagi (Wilk et al. 2020) oraz pliszka cytrynowa *Motacilla citreola*, dla której gromadzone są dane poza główną ostoją gatunku na Bagnach Biebrzańskich (Krajewski 2016, Stawarczyk et al. 2017). Omówiono 28 taksonów pojawiających się naturalnie oraz 4 gatunki, pochodzące z dawnych introdukcji, które są obecnie uważane za gatunki wtórnie naturalne (Stawarczyk et al. 2017, www.komisjafaunistyczna.pl); są to: bernikla kanadyjska *Branta canadensis*, gęsiówka egipska *Alopochen aegyptiaca*, mandarynka *Aix galericulata* i aleksandretta obroźna *Psittacula krameri*.

Liczebność

Dla każdego z gatunków podano łączną liczbę par/samców/terytoriów stwierdzonych w danym roku na podstawie określonych kategorii gniazdowania dla poszczególnych gatunków (tab. 2). Specyficzne kryteria stosowane w MPP zawierają instrukcje dostępne na stronie internetowej tego programu (www.monitoringptakow.gios.gov.pl). Natomiast dla pozostałych gatunków uwzględniono kryteria lęgowości, zgodnie z instrukcją przygotowaną na potrzeby portalu ornitho.pl (Wilk 2016). Liczebność osiadłej populacji mandarynki w Warszawie i Pruszkowie oceniono w oparciu o liczebność ptaków na początku sezonu lęgowego i kategorię lęgowości B i C (Ł. Wardecki, F. Hayatli). Szczegóły dotyczące metody oszacowania liczebności wodniczki znajdują się w poprzednim raporcie (Sikora et al. 2020). Na mapach zaprezentowano sumy par/samców odnotowane w analizowanym roku w obrębie kwadratów 10 × 10 km.

Rozpowszechnienie

Parametr ten jest miarą wielkości zajmowanego areалу lęgowego, którą wyrażono jako procent powierzchni 10 × 10 km, na których wykazano gatunek jako lęgowy wśród 3 304 powierzchni w całym kraju lub w odniesieniu do liczby kwadratów w poszczególnych regionach.

Trendy liczebności

Trendy liczebności podano na podstawie wyników z raportów MPP i publikowanych danych (np. Stawarczyk et al. 2017, Chylarecki et al. 2018, Chodkiewicz et al. 2019, MPP 2019).

Kompletność danych

Uzyskanie kompletnych danych w skali kraju dla wszystkich rzadkich lęgowych taksonów nie jest możliwe. W niniejszym opracowaniu zastosowano 4-stopniową klasyfikację

Tabela 2. Kategorie lęgowości wykorzystane do określenia liczebności raportowanych gatunków; A – gniazdowanie możliwe, B – gniazdowanie prawdopodobne, C – gniazdowanie pewne. * – B i C dla populacji w Warszawie i Pruszkowie, C – dla pozostałych stanowisk

Table 2. Breeding categories used to determine the population size of the reported species: A – breeding possible, B – breeding probable, C – breeding confirmed. (1) – species, (2) breeding category. * – B and C for the population in Warsaw and Pruszków, C – for the other sites

Gatunek (1)	Kategorie lęgowości (2)
Łabędź krzykliwy <i>Cygnus cygnus</i>	B, C
Bernikla kanadyjska <i>Branta canadensis</i>	C
Gęsiówka egipska <i>Alopochen aegyptiaca</i>	C
Helmiatka <i>Netta rufina</i>	B, C
Podgorzałka <i>Aythya nyroca</i>	B, C
Mandarynka <i>Aix galericulata</i>	B, C*
Ostrygojad <i>Haematopus ostralegus</i>	B, C
Szczudłak <i>Himantopus himantopus</i>	B, C
Szablodziób <i>Recurvirostra avosetta</i>	B, C
Kulik wielki <i>Numenius arquata</i>	B, C
Dubelt <i>Gallinago media</i>	A, B, C
Mewa czarnogłowa <i>Ichthyophaga melanocephala</i>	C
Rybitwa czubata <i>Thalasseus sandvicensis</i>	C
Ślepowron <i>Nycticorax nycticorax</i>	C
Czapla biała <i>Ardea alba</i>	B, C
Rybolów <i>Pandion haliaetus</i>	B, C
Gadożer <i>Circaetus gallicus</i>	B, C
Orlik grubodzioby <i>Clanga clanga</i>	B, C
Orzeł przedni <i>Aquila chrysaetos</i>	B, C
Uszatka błotna <i>Asio flammeus</i>	B, C
Puszczyk mszarny <i>Strix nebulosa</i>	A, B, C
Kraska <i>Coracias garrulus</i>	B, C
Sokół wędrowny <i>Falco peregrinus</i>	B, C
Aleksandretta obroźna <i>Psittacula krameri</i>	C
„Srokosz stepowy” <i>Lanius excubitor homeyeri</i>	B, C
Czarnowron <i>Corvus corone</i>	B, C
Wodniczka <i>Acrocephalus paludicola</i>	A, B, C
Wójcik <i>Phylloscopus trochiloides</i>	A, B, C
Pomurnik <i>Tichodroma muraria</i>	A, B, C
Drożdżik <i>Turdus iliacus</i>	B, C
„Pliszka tundrowa” <i>Motacilla flava thunbergi</i>	B, C
Pliszka cytrynowa <i>Motacilla citreola</i>	B, C

kompletności danych (tab. 3). Punktem odniesienia jest najnowsza ocena liczebności populacji lęgowych dla okresu 2013–2018 (Chodkiewicz et al. 2019) w odniesieniu do stopnia zbadania potencjalnych siedlisk gniazdowania poszczególnych gatunków. Podanie tej informacji ułatwia zorientowanie się co do kompletności danych w roku sprawozdawczym i jednocześnie jest istotne do właściwej interpretacji wyników w kolejnych sezonach.

Tabela 3. Ocena kompletności danych dla gatunków lęgowych rejestrowanych w Kartotece Rzadkich Ptaków

Table 3. Assessment of the completeness of data for the breeding species registered in the Rare Birds Panel. (1) – category, (2) – description, (3) – degree of country coverage by data, (4) – very high, (5) – high, (6) – moderate, (7) – low

Kategoria kompletności (1)	Opis (2)	Kompletność pokrycia kraju danymi [%] (3)
Bardzo wysoka (4)	Dane pełne lub niemal pełne w skali kraju	91–100
Wysoka (5)	Wyniki w małej części niekompletne, dla części stanowisk lęgowych brak danych	71–90
Średnia (6)	Pobieżne rozpoznanie, brakuje danych z szeregu ważnych lęgowisk	51–70
Niska (7)	Brak danych z ponad połowy lęgowisk krajowych; niejednokrotnie liczebność z raportowanych miejsc niekompletna	<50

Skróty użyte w tekście: p. – para/pary, s. – samiec/samce, PN – park narodowy, rez. – rezerwat, OSO – obszar specjalnej ochrony ptaków Natura 2000, Jez./jez. – jezioro, Zb./zb. – zbiornik.

Przegląd gatunków

Łabędź krzykliwy *Cygnus cygnus*

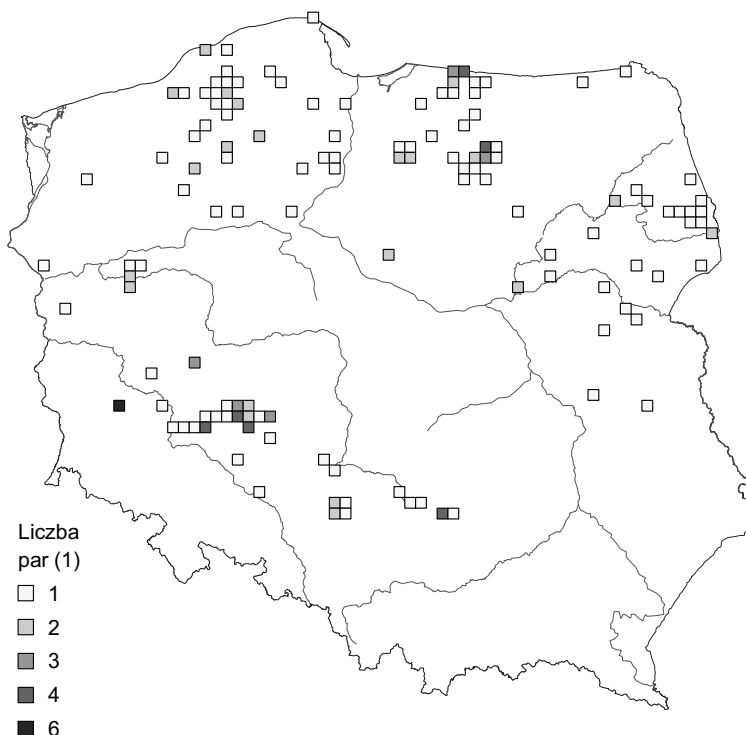
Liczebność: 190 p.	Trend: wzrost (2007–2019)	Kompletność: wysoka
--------------------	---------------------------	---------------------

Stwierdzono 190 par łabędzia krzykliwego we wszystkich regionach kraju z wyjątkiem Podkarpacia. Rozpowszechnienie gatunku w kraju wyniosło 4,1%. W 4 regionach rozpowszechnienie przekraczało 5%, osiągając maksymalnie 11% na Warmii i Mazurach (tab. 4). Najliczniej zasiedlone regiony w Polsce (Warmia i Mazury, Pomorze, Dolny Śląsk i Podlasie) skupiały łącznie 68% populacji krajowej (129 p.). Na południu i w centrum Polski liczniej zasiedlone były Małopolska i Ziemia Świętokrzyska. W porównaniu do roku 2018 liczba par w Polsce wzrosła o 6%, czyli poniżej średniego rocznego tempa wzrostu w latach 2007–2016 wynoszącego 11% (Chylarecki et al. 2018). Wyraźny wzrost liczebności wykazano na Warmii i Mazurach, gdzie liczba par w roku 2019 była o 27% wyższa niż w roku 2018 (Sikora et al. 2020). W ostatnim dwudziestolecu liczebność populacji lęgowej łabędzia krzykliwego w Polsce wzrosła ok. dziesięciokrotnie i jest to jeden z gatunków o największym tempie wzrostu (Chylarecki et al. 2018).

Tabela 4. Liczba par, zajętych powierzchni 10 × 10 km i rozpowszechnienie łabędzia krzykliwego *Cygnus cygnus* w regionach ornitologicznych Polski w roku 2019

Table 4. Number of pairs (1), occupied 10 × 10 km squares (2) and occupancy (3) of the Whooper Swan in ornithological regions in Poland in 2019. (4) – total

	DS	CS	KU	LD	LL	MP	MZ	PK	PL	PM	SW	WM	WP	ZL	Razem (4)
N par (1)	29	3	7	2	1	8	10		18	40	6	42	16	8	190
N pow. (2)	16	2	6	2	1	6	9		16	33	3	28	10	3	135
Rozp. (%) (3)	5,8	1,5	4,8	1,4	0,4	2,8	2,2		7,7	6,5	2,1	11,3	2,8	2,4	4,1



Rys. 2. Rozmieszczenie stanowisk lęgowych łabędzia krzykliwego *Cygnus cygnus* w Polsce w roku 2019
Fig. 2. Distribution of the Whooper Swan breeding sites in Poland in 2019. (1) – number of breeding pairs in each 10 × 10 km square

Bernikła kanadyjska *Branta canadensis*

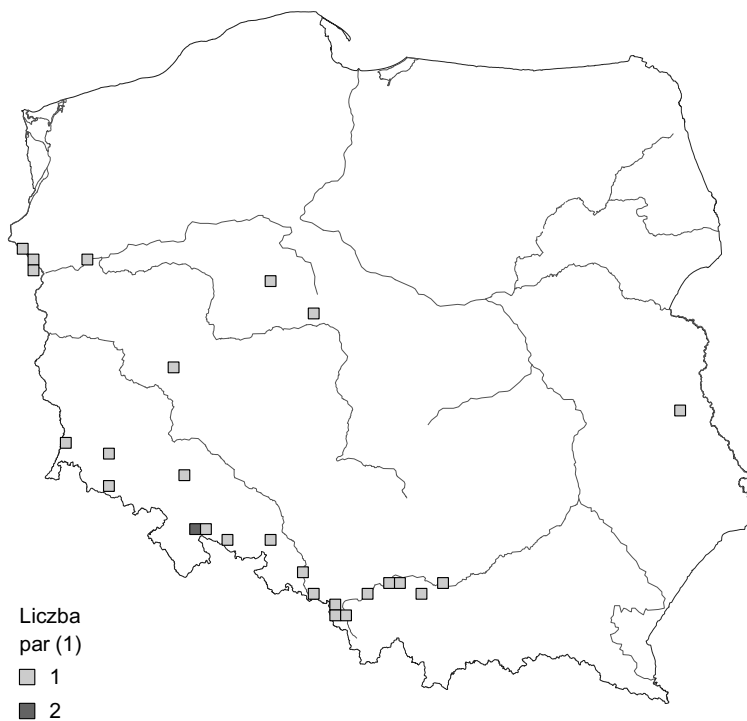
Liczebność: 1 p. Trend: fluktuacje (2004–2019) Kompletność: bardzo wysoka

W kwietniu 2019 r. stwierdzono berniklę kanadyjską budującą gniazdo w Parku im. Reagana w Gdańsku (J. Błaż). Pierwszy lęg tego gatunku w Polsce odnotowano w 2004 r. właśnie na tym stanowisku (Półtorak & Sikora 2007). W latach 2004–2018 populacja krajowa wahała się w zakresie od 1 do 5 par (Meissner & Bzoma 2009, Stawarczyk et al. 2017, Chodkiewicz et al. 2015, 2019). Prawdopodobnie wszystkie ptaki przystępujące do lęgów w kilku parkach Gdańska pochodziły z gdańskiego zoo, a liczba lęgów w danym roku uzależniona była od liczby ptaków zbiegłych z zoo (Meissner & Bzoma 2009, Stawarczyk et al. 2017). Jedyne dotychczasowe lęgi poza Gdańskiem miały miejsce na Jez. Somińskim na Kaszubach w 2008 r. (Stawarczyk et al. 2017) oraz w Poznaniu w 2018 r. (B. Nowak).

Gęsiówka egipska *Alopochen aegyptiaca*

Liczebność: 27 p. Trend: wzrost (2007–2019) Kompletność: wysoka

Wykryto 27 par, z czego 17 p. z młodymi. Pary lęgowe stwierdzono na 27 stanowiskach w 7 regionach, w tym 9 p. na Dolnym Śląsku, 6 p. na Górnym Śląsku, 4 p. w Małopolsce,



Rys. 3. Rozmieszczenie stanowisk lęgowych gęsiówki egipskiej *Alopochen aegyptiaca* w Polsce w roku 2019

Fig. 3. Distribution of the Egyptian Goose breeding sites in Poland in 2019. (1) – number of breeding pairs in each 10 × 10 km square

Fot. 1. Gęsiówki egipskie *Alopochen aegyptiaca*, Bieńkowice, Górny Śląsk, 19.08.2019 (fot. R. Gwóźdź) – Egyptian Geese, Bieńkowice, August 2019



po 3 p. na Pomorzu i w Wielkopolsce oraz pojedyncze pary na Lubelszczyźnie i Ziemi Lubuskiej (tab. 5, rys. 3, fot. 1). Stanowiska lęgowe stwierdzano głównie na żwirowniach w Dolinie Górnej Wisły (4 p.) i w Dolinie Dolnej Odry (3 p.) oraz na zbiornikach zaporowych na Dolnym Śląsku (4 p.). Liczebność odnotowana w 2019 r. trzykrotnie przewyższała populację z lat 2013–2018, gdy rejestrowano 4–9 p. (Stawarczyk et al. 2017, Komisja Faunistyczna 2018, 2019, Chodkiewicz et al. 2019). Pierwszy lęg gęsiówki egipskiej w Polsce wykryto w 2007 r. na Górnym Śląsku (Rojek & Stajszyk 2008), a obecnie występuje w kraju już ok. 30 p. Polska leży na wschodnim krańcu zasięgu tego gatunku w Europie. Populacja na kontynencie wzrasta w dużym tempie i rozszerza swój zasięg (Keller et al. 2020).

Tabela 5. Liczba par, zajętych powierzchni 10×10 km i rozpowszechnienie gęsiówki egipskiej *Alopochen aegyptiaca* w regionach ornitologicznych Polski w roku 2019

Table 5. Number of pairs (1), occupied 10×10 km squares (2) and occupancy (3) of the Egyptian Goose in ornithological regions in Poland in 2019. (4) – total

	DS	GS	KU	LD	LL	MP	MZ	PL	PK	PM	SW	WM	WP	ZL	Razem (4)
N par (1)	9	6			1	4				3			3	1	27
N pow. (2)	9	6			1	4				3			3	1	27
Rozp. (%) (3)	3,3	4,4			0,4	1,9				0,6			0,8	0,8	0,8

Helmiatka *Netta rufina*

Liczebność: 52 p.

Trend: wzrost (2013–2019)

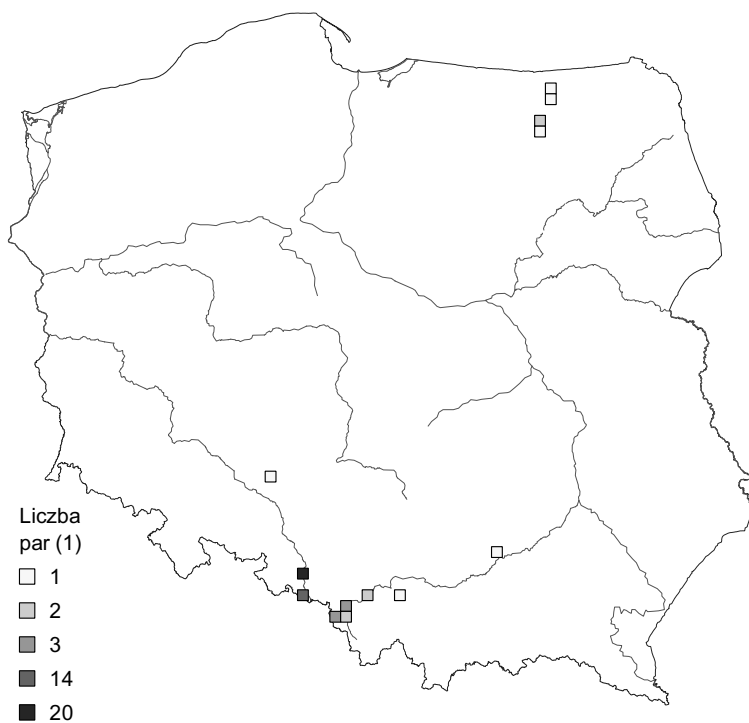
Kompletność: wysoka

Liczebność populacji lęgowej helmiatki w Polsce oceniono na 52 pary obserwowane na 13 powierzchniach w 5 regionach (tab. 6, rys. 4). Większość krajowej populacji (85%) zasiedlała Górny Śląsk – przede wszystkim dwa kompleksy stawowe w Dolinie Górnej Odry, tj. Łęczzok i Wielikąt (fot. 2), gdzie gniazdowało odpowiednio 20 i 14 p. (S. Beuch, M. Nagler, Z. Wnuk). Pozostałe 10 p. obserwowano w tym regionie na 7 kompleksach stawowych w Dolinie Górnej Wisły (G. Schneider, J. Gil, A. Jędrzejko). Na 4 górnośląskich stanowiskach (Łęczzok, Wielikąt, Ochaby Wielkie, Nazieleńce) odnotowano gniazdowanie pewne. Drugim najważniejszym regionem występowania były Mazury, gdzie wykazano co najmniej 5 p. lęgowych, z czego 2 w kategorii gniazdowania pewnego. Wyśiadywane gniazdo znalezione na Jez. Ryńskim (A. Włodarczak-Komosińska, D. Cząstkiwicz, A. Stawicka), a samicę z 8 pisklętami obserwowano na jez. Tałty w Mikołajkach (A. Bąk). Pojedyncze samice wodzące młode stwierdzono również w innych rejonach kraju: na stawach w Bielicach na Opolszczyźnie (M. Stajszyk, J. Regner) oraz na stawach Spytkowice w Małopolsce (H. Łożyńska). Ponadto jedną parę stwierdzono na stawach w Górkach na Ziemi Świętokrzyskiej, jednak bez jednoznacznych oznak lęgowości (M. Jantarski, M. Łodziński). Populacja helmiatki w 2019 r. (52 p.) była wyższa w porównaniu

Tabela 6. Liczba par, zajętych powierzchni 10×10 km i rozpowszechnienie helmiatki *Netta rufina* w regionach ornitologicznych Polski w roku 2019

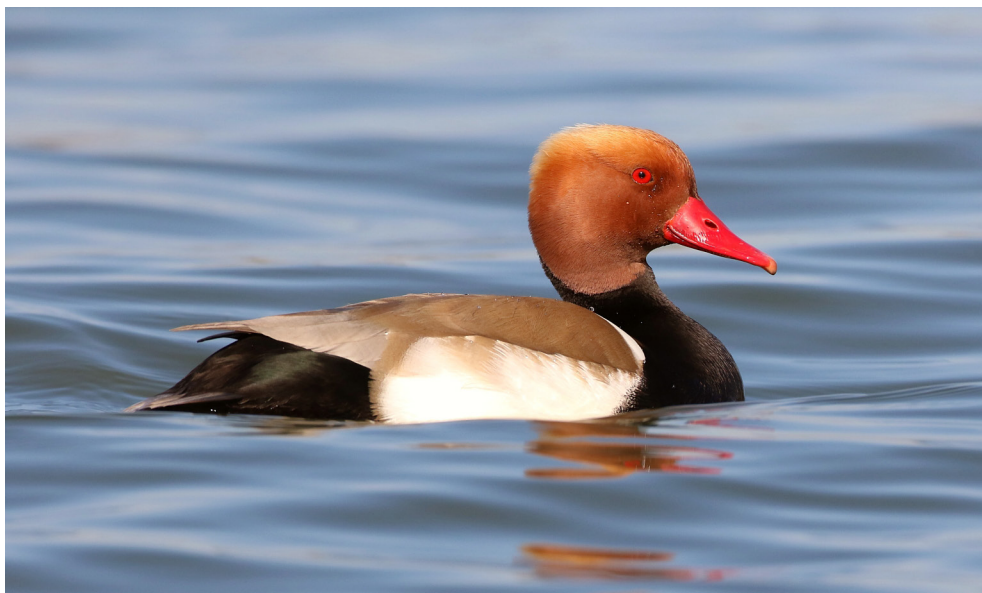
Table 6. Number of breeding pairs (1), occupied 10×10 km squares (2) and occupancy (3) of the Red-crested Pochard in ornithological regions in Poland in 2019. (4) – total

	DS	GS	KU	LD	LL	MP	MZ	PL	PK	PM	SW	WM	WP	ZL	Razem (4)
N par (1)	1	44				1					1	5			52
N pow. (2)	1	6				1					1	4			13
Rozp. (%) (3)	0,4	4,4				0,5					0,7	1,6			0,4



Rys. 4. Rozmieszczenie stanowisk lęgowych helmiatki *Netta rufina* w Polsce w roku 2019
Fig. 4. Distribution of the Red-crested Pochard breeding sites in Poland in 2019. (1) – number of breeding pairs in each 10 × 10 km square

Fot. 2. Helmiatka *Netta rufina*, Wielikąt, Góry Śląsk, 16.04.2019 (fot. R. Gwóźdź) – Red-crested Pochard, Wielikąt, April 2019



do oceny jej populacji w latach 2013–2018 (15–48 p.; Chodkiewicz et al. 2019), jednak górny zakres liczebności krajowej populacji był zanizony, bowiem w 2018 r. tylko na Górnym Śląsku stwierdzono 54 p. (Beuch 2019a).

Podgorzałka *Aythya nyroca*

Liczebność: 131 p. Trend: stabilny (2007–2019) Kompletność: bardzo wysoka

Obecność w okresie lęgowym odnotowano w 6 regionach (tab. 7). Liczebność podgorzałki oceniono na 131 par, w tym najliczniej na stawach w Budzie Stalowskiej na Podkarpaciu (67 p.; 51% populacji krajowej), na Lubelszczyźnie (28 p.; 21%) i w Dolinie Baryczy (32 p.; 24%). W porównaniu do roku poprzedniego nastąpił wyraźny wzrost liczebności podgorzałki na stawach w Budzie Stalowskiej i bardzo silny spadek na Lubelszczyźnie. Kluczowe lęgowiska skupiały 96% populacji krajowej gatunku. Poza tymi terenami stwierdzono zaledwie 4 p. na 3 stanowiskach: Szczecin-Dąbie, Rytwiany na Ziemi Świętokrzyskiej i stawy k. Przemkowa (tab. 7). W roku 2019 liczebność podgorzałki w Polsce była jedną z wyższych w ostatnich kilkunastu latach (Chylarecki et al. 2018), jednak nadal nie osiągnęła poziomu liczebności odnotowanego na początku lat 80. XX wieku, kiedy została oceniona na 400–500 p. (Tomiałołc & Stawarczyk 2003).

Tabela 7. Liczba par, zajętych powierzchni 10 × 10 km i rozpowszechnienie (%) podgorzałki *Aythya nyroca* w regionach ornitologicznych Polski w roku 2019

Table 7. Number of pairs (1), occupied 10 × 10 km squares (2) and occupancy (%) of the Ferruginous Duck in ornithological regions in Poland in 2019. (4) – total

	DS	GS	KU	LD	LL	MP	MZ	PK	PL	PM	SW	WM	WP	ZL	Razem (4)
N par (1)	32				28			67		2	1			1	131
N pow. (2)	2				7			1		1	1			1	13
Rozp. (%) (3)	0,7				3,1			0,5		0,2	0,7			0,8	0,4

Mandarynka *Aix galericulata*

Liczebność: 96 p. Trend: wzrost (2001–2019) Kompletność: bardzo wysoka

Mandarynka gniazdowała na 9 powierzchniach w 5 regionach w łącznej liczbie 96 par. Większa część krajowej populacji lęgowej zasiedlała Warszawę, gdzie jej łączną liczebność w 2019 r. oceniono na 80–85 p., w tym 31 samic z młodymi (Ł. Wardecki, F. Hayatli). Blisko połowa tej populacji zasiedlała Park Łazienki Królewskie, a pozostałe stanowiska zlokalizowane były w innych częściach miasta, głównie parkach (Moczydło, Promenada, Rydza Śmigłego, Skaryszewski i Szczęśliwicki), Ogrodzie Zoologicznym, nad Jez. Wilanowskim oraz nad Wisłą. Gniazdowanie do 5 p. stwierdzono w Pruszkowie (Ł. Wardecki). Poza Mazowszem gniazdowało 6 p. w 4 regionach (tab. 8). Większość z nich stwierdzono na Śląsku: w Brzegu (M. Stajszczyk) i na pobliskich stawach w Borucicach (A. Andrzejczyk), Kamieniu Śląskim (W. Michalik) oraz Żywcu (Kucharska & Dyduch 2019). Pojedyncze wodzące pisklęta samice obserwowano również w Kutnie na Ziemi Łódzkiej (J. Makowski) oraz w Elku na Mazurach (T. Cimochocki, S. Michoń). Pierwszy lęg mandarynki w Polsce stwierdzono w 2001 r. w Parku Łazienki Królewskie w Warszawie (Mazgajski & Mazgajska 2004). Od tego czasu jej liczebność w stolicy wyraźnie wzrosła i w 2016 r. oceniono ją na 38–42 lęgowe samice wodzące młode (Stawarczyk et al. 2017, Ł. Wardecki i in.).

Tabela 8. Liczba par, zajętych powierzchni 10 × 10 km i rozpowszechnienie mandarynki *Aix gale-riculata* w regionach ornitologicznych Polski w roku 2019

Table 8. Number of breeding pairs (1), occupied 10 × 10 km squares (2) and occupancy (3) of the Mandarin Duck in ornithological regions in Poland in 2019. (4) – total

	DS	GS	KU	LD	LL	MP	MZ	PL	PK	PM	SW	WM	WP	ZL	Razem (4)
N par (1)	2	2		1			90					1			96
N pow. (2)	2	2		1			3					1			9
Rozp. (%) (3)	0,7	1,5		0,7			0,7					0,4			0,3

Ostrygojad *Haematopus ostralegus*

Liczebność: 26 p.

Trend: stabilny (2010–2019)

Kompletność: wysoka

Odnotowano 26 par ostrygojada w 5 regionach (tab. 9). Łęgowska ograniczały się do dwóch rejonów – środkowego biegu Wisły oraz Doliny Dolnej Odry wraz z pobliskim PN Ujście Warty. Populacja nadwiślańska liczyła co najmniej 21 p., w tym 8 p. od ujścia Sanu do Dębłina (Ł. Bednarz, M. Cmoch), co najmniej 5 p. od Dębłina do ujścia Pilicy (D. Piechota, M. Maniakowski, J. Synowiecki i in.) oraz 8 p. od ujścia Pilicy do Płocka (A. Różycki, Ł. Wardecki, T. Chodkiewicz i in.). Dane z Wisły mogą być niepełne, ponieważ brakuje informacji o stanowiskach położonych powyżej ujścia Sanu, na których w roku 2018 gniazdowało 6 p. (Sikora et al. 2020). W Dolinie Dolnej Odry stwierdzono 4 p. między Kaleńskiem a Bielinkiem (Z. Kajzer, S. Gibowski, K. Juergens). Parę z gniazdem odnotowano także w PN Ujście Warty (dane PNUW). Od 2020 r. w ramach MPP prowadzony jest coroczny monitoring krajowej populacji ostrygojada na wszystkich znanych stanowiskach.

Tabela 9. Liczba par, zajętych powierzchni 10 × 10 km i rozpowszechnienie (%) ostrygojada *Haematopus ostralegus* w regionach ornitologicznych Polski w roku 2019

Table 9. Number of pairs (1), occupied 10 × 10 km squares (2) and occupancy (3) of the Eurasian Oystercatcher in ornithological regions in Poland in 2019. (4) – total

	DS	GS	KU	LD	LL	MP	MZ	PK	PL	PM	SW	WM	WP	ZL	Razem (4)
N par (1)					3		17			4	1			1	26
N pow. (2)					3		9			4	1			1	18
Rozp. (%) (3)					1,2		2,2			0,8	0,7			0,8	0,5

Szczudłak *Himantopus himantopus*

Liczebność: 1 p.

Trend: fluktuacje (2000–2019)

Kompletność: wysoka

Wykryto jedno stanowisko łęgowe na Lubelszczyźnie – 19.05 na zb. Nielisz obserwowano zaniepokojoną i kopulującą parę (M. Sokołowski, M. Gałan, S. Śliwiński i in.). Na tym zbiorniku stwierdzono łęg szczudłaka także w roku 2008 (Stawarczyk et al. 2017). Szczudłak gniazdował w Polsce nieregularnie. W latach 1994–2019 przystępował do łęgów w 15 sezonach (58%), w liczbie od 1 do 7 p. (Stawarczyk et al. 2017, Komisja Faunistyczna 2017, 2018, 2019).

Szablodziób *Recurvirostra avosetta*

Liczebność: 0 p.	Trend: fluktuacje (2000–2019)	Kompletność: wysoka
------------------	-------------------------------	---------------------

W roku 2019 nie odnotowano lęgów szablodzioba w Polsce, pomimo rekordowego nalotu (Beuch et al. 2021). Gatunek ten jest skrajnie nielicznie i nieregularnie lęgowy w kraju, z populacją wahającą się od 0 do 8 p. Najwyższą liczebność stwierdzono w 2012 r., choć w latach 2013–2018 populacja nie przekraczała 2 p. (Stawarczyk et al. 2017, Chodkiewicz et al. 2019). Pierwsze lęgi szablodziobów w Polsce miały miejsce w 1994 r., ale regularniej zaczął się gnieździć od 2002 r. (Stawarczyk et al. 2017, Komisja Faunistyczna 2017, 2018, 2019). Polska leży poza zwartym zasięgiem tego gatunku, stąd nieregularność jego gniazdowania w kraju (Keller et al. 2020).

Kulik wielki *Numenius arquata*

Liczebność: 167 p.	Trend: nieokreślony (2015–2019)	Kompletność: wysoka
--------------------	---------------------------------	---------------------

Zebrano informacje o występowaniu 167 par kulika wielkiego w Polsce. Główne lęgowiska znajdowały się na Mazowszu, Podlasiu i w Wielkopolsce (tab. 10). Zdecydowana większość populacji krajowej gniazduje w OSO Natura 2000. Na Mazowszu najliczniej gniazdował w OSO Dolina Dolnego Bugu (17 p.) oraz Doliny Omulwi i Płodownicy (14 p.). Jego lęgi w tym regionie stwierdzono także w 3 innych OSO: Bagno Pulwy (9 p.), Doliny Wkry i Mławki (8 p.) oraz Dolina Liwca (4 p.). Ponadto 10 p. gniazdowało w IBA Ostoja Kurpiowska oraz 1 p. w dolinie Muchawki (dane TP Bocian). Na Podlasiu głównym lęgowiskiem pozostaje OSO Ostoja Biebrzańska wraz doliną Brzozówki, gdzie policzono 35 p. oraz Bagno Wizna – 10 p. Lęgi 2 p. stwierdzono także w dolinie Nurca (dane TP Bocian). W Wielkopolsce gniazdował w 4 OSO: Nadnoteckie Łęgi (13 p.), Wielki Łęg Obrzański (8 p.), Dolina Środkowej Warty (4 p.) oraz Dolina Dolnej Noteci (1 p.) (dane TP Bocian, PTOP Salamandra). Pojedynczą parę stwierdzono również w dolinie Noteci między m. Moczydła i Drawsko (P. Wylegała). Na Lubelszczyźnie najliczniej gniazdował w kompleksie łąk „Żelazna” w dolinie Kanału Wieprz-Krzna – 10 p. Ponadto 3 p. gniazdowały na Krowim Bagnie, 2 p. w dolinie Tyśmienicy k. Nowego Uścimowa oraz 1 p. pod Holeszowem (dane TP Bocian, J. Krogulec). Na Ziemi Łódzkiej gniazdował w dolinie Neru, gdzie odnotowano 11 p. (dane TP Bocian, P. Majchrzak). Poza wymienionymi regionami stwierdzono 1 p. w dolinie Warty k. Krzeszyc na Ziemi Lubuskiej (M. Maluśkiewicz) oraz 2 p. w dolinie górnej Pilicy k. Koniecpola (P. Bulski i in.). W porównaniu z rokiem 2018 populacja kulika wielkiego prawdopodobnie nieznacznie wzrosła, na co wskazują także wyniki MPP. Szerszy zakres liczebności w roku 2018 wynikał z przyjętego wówczas założenia, że wartość minimalną stanowią pary w kategorii gniazdowania pewnego (Sikora et al. 2020).

Tabela 10. Liczba par, zajętych powierzchni 10 × 10 km i rozpowszechnienie (%) kulika wielkiego *Numenius arquata* w regionach ornitologicznych Polski w roku 2019

Table 10. Number of pairs (1), occupied 10 × 10 km squares (2) and occupancy (3) of the Eurasian Curlew in ornithological regions in Poland in 2019. (4) – total

	DS	GS	KU	LD	LL	MP	MZ	PK	PL	PM	SW	WM	WP	ZL	Razem (4)
N par (1)				11	16	2	63		47				27	1	167
N pow. (2)				3	4	1	15		5				13	1	42
Rozp. (%) (3)				2,0	1,7	0,5	3,7		2,4				3,6	0,8	1,3

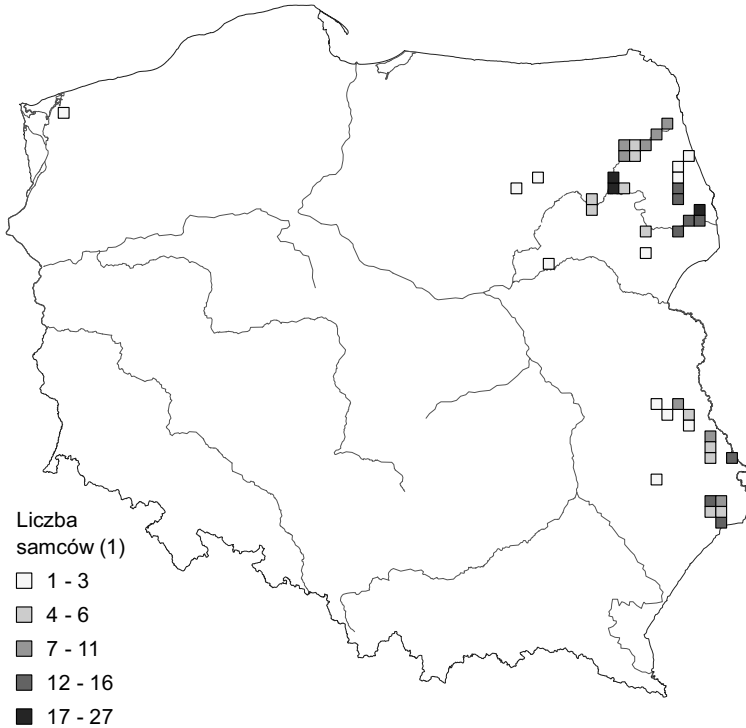
Dubelt *Gallinago media*

Liczebność: 345 ♂♂

Trend: spadek (2010–2019)

Kompletność: wysoka

Odnotowano łącznie 345 tokujących dubeltów na 42 powierzchniach 10×10 km (tab. 11, rys. 5) (MPP 2019). Jest to o niemal 25% więcej samców niż w roku 2018 (Sikora et al. 2020). Nie wynika to jednak z nagłego wzrostu populacji, a z wykrycia 13 nowych tokowisk, na których w 2019 r. wykazano obecność 55 samców. Najważniejsze łęgowsko znajdowało się w Ostoi Biebrzańskiej, gdzie odnotowano 115 tokujących samców. Na innych stanowiskach podlaskich stwierdzono 123 samce z największym tokowiskiem w OSO Puszcza Knyszyńska (24 s.). Poza Podlasiem łącznie 100 samców wykazano na



Rys. 5. Rozmieszczenie stanowisk łęgowych dubelta *Gallinago media* w Polsce w roku 2019

Fig. 5. Distribution of the Great Snipe breeding sites in Poland in 2019. (1) – number of lekking males in each 10×10 km square

Tabela 11. Liczba tokujących samców, zajętych powierzchni 10×10 km i rozpowszechnienie dubelta *Gallinago media* w regionach ornitologicznych Polski w roku 2019

Table 11. Number of lekking males (1), occupied 10×10 km squares (2) and occupancy (3) of the Great Snipe in ornithological regions in Poland in 2019. (4) – total

	DS	GS	KU	LD	LL	MP	MZ	PL	PK	PM	SW	WM	WP	ZL	Razem (4)
N samców (1)					100		5	239		1					345
N pow. (2)					15		3	23		1					42
Rozp. (%) (3)					6,3		0,7	11,1		0,2					1,3

Lubelszczyźnie oraz 5 samców w dwóch OSO na Mazowszu – Doliny Wkry i Mławki oraz Doliny Omulwi i Płodownicy. Pojedynczy samiec tokował również 13.05 na Bagnach Rozwarowskich na Pomorzu Zachodnim (M. Jasiński), jednak był to prawdopodobnie przelotny ptak. W latach 2010–2019 liczebność dubelta zmniejszyła się o prawie 55%.

Mewa czarnogłowa *Ichthyaetus melanocephalus*

Liczebność: 42 p. Trend: spadek (2007–2019) Kompletność: bardzo wysoka

Gatunek lęgowy w 8 regionach w liczbie 42 par (tab. 12), w tym najliczniej na Dolnym Śląsku – 17 p. i na Warmii i Mazurach – 11 p. W pozostałych 6 regionach stwierdzono od 1 do 4 p. Największe kolonie lęgowe stwierdzono na Zb. Nyskim na Dolnym Śląsku – 12 p. i na Jez. Ryńskim na Mazurach – 9 p. Pozostałe kolonie liczyły od 1 do 5 p. W roku 2019 populacja krajowa mewy czarnogłowej osiągnęła najniższą liczebność od roku 2007 i była dwukrotnie mniej liczna niż w roku 2018 (Chylarecki et al. 2018, Sikora et al. 2020).

Tabela 12. Liczba par, zajętych powierzchni 10 × 10 km i rozpowszechnienie (%) mewy czarnogłowej *Ichthyaetus melanocephalus* w regionach ornitologicznych Polski w roku 2019

Table 12. Number of pairs (1), occupied 10 × 10 km squares (2) and occupancy (3) of the Mediterranean Gull in ornithological regions in Poland in 2019. (4) – total

	DS	GS	KU	LD	LL	MP	MZ	PK	PL	PM	SW	WM	WP	ZL	Razem (4)
N par (1)	17	2	2				4			1	3	11	2		42
N pow. (2)	2	1	1				3			1	2	2	1		13
Rozp. (%) (3)	0,7	0,7	0,8				0,7			0,2	1,4	0,3	0,8		0,4

Rybitwa czubata *Thalasseus sandvicensis*

Liczebność: 130 p. Trend: fluktuacje (2006–2019) Kompletność: bardzo wysoka

Odnotowano gniazdowanie ok. 130 par na 2 stanowiskach: ok. 5 par przystąpiło do lęgów w Porcie Północnym w Gdańsku oraz ok. 125 par w rez. Mewia Łacha w ujściu Wisły, jednak w obu przypadkach wszystkie lęgi uległy zniszczeniu (MPP 2019). W latach 2006–2019 krajowa populacja rybitwy czubatej silnie fluktuowała w zakresie od 30 do 770 p. (Meissner et al. 2014, Sikora et al. 2020, Wilk et al. 2020). W ostatnich 14 latach gatunek ten gniazdował na 3 stanowiskach nad Zatoką Gdańską (falochron portowy w Gdyni, Port Północny w Gdańsku i ujście Wisły), ale tylko ostatnie z tych lęgowisk zajmowane jest regularnie. W ostatnich kilku latach nie odnotowano sukcesu lęgowego rybitwy czubatej na skutek strat spowodowanych przez drapieżnictwo ssaków, sztormy i wezbrania wód zalewające łachy (Chodkiewicz et al. 2018, Sikora et al. 2020, Wardecki et al. 2021).

Ślepowron *Nycticorax nycticorax*

Liczebność: 1 293 p. Trend: wzrost (2009–2019) Kompletność: bardzo wysoka

Ślepowron gniazdował w 13 koloniach w 4 regionach (tab. 13). 92% populacji zasiedlało kompleksy stawów rybnych i żwirowni w mezoregionie Doliny Górnej Wisły (MPP 2019). Tamtejsza populacja skoncentrowana była w 4 OSO: Dolina Dolnej Skawy (386 p.), Stawy w Brzeszczach (317 p.), Dolina Górnej Wisły (266 p.) oraz Dolina Dolnej Soły (221 p.), gdzie łącznie gniazdowało 1 190 p. W porównaniu z poprzednim sezonem licz-

ba stanowisk w Dolinie Górnej Wisły zwiększyła się o jedno, a łączna liczba par wzrosła tam o 2%. Poza tym obszarem stwierdzono jedynie 2 kolonie: w OSO Dolina Nidy (43 p.) oraz na zb. Mokrzec na Podkarpaciu (60 p.). Na obu tych stanowiskach odnotowano wyraźny wzrost populacji w stosunku do poprzedniego sezonu o odpowiednio 55% i 35%. Łączna liczebność ślepowrona w roku 2019 (1 293 p.) była największą odnotowaną dotąd w kraju. W latach 2009–2018 populacja ślepowrona zwiększyła się o ok. 48% (z 671 p. w 2009 r.) (MPP 2019).

Tabela 13. Liczba par, zajętych powierzchni 10 × 10 km i rozpowszechnienie (%) ślepowrona *Nycticorax nycticorax* w regionach ornitologicznych Polski w roku 2019

Table 13. Number of pairs (1), occupied 10 × 10 km squares (2) and occupancy (3) of the Black-crowned Night Heron in ornithological regions in Poland in 2019. (4) – total

	DS	GS	KU	LD	LL	MP	MZ	PK	PL	PM	SW	WM	WP	ZL	Razem (4)
N par (1)		583				607		60			43				1 293
N pow. (2)		3				5		1			1				10
Rozp. (%) (3)		2,2				2,3		0,5			1				0,3

Czapla biała *Ardea alba*

Liczebność: 378 p.	Trend: wzrost (2011–2019)	Kompletność: wysoka
--------------------	---------------------------	---------------------

Gniazdowanie czapli białej wykazano na ośmiu stanowiskach w czterech regionach (tab. 14). W kraju gniazdowało co najmniej 378 par, choć uzyskany wynik jest z pewnością zaniżony; nie skontrolowano jednego stanowiska na Lubelszczyźnie (Dubienka) oraz nie wykonano pełnej kontroli kolonii w dolinie Biebrzy z wykorzystaniem drona (stwierdzono tam min. 2 gniazda). Uzyskana liczebność była więc niższa o 24% od tej z roku 2018, kiedy to podczas kompletnej inwentaryzacji gatunku stwierdzono 498 p. na 10 stanowiskach (Zbyryt 2019). W roku 2019 czaple białe występowały niemal wyłącznie w Polsce północno-wschodniej i wschodniej. Nie stwierdzono lęgów nad zb. Jeziorsko i w PN Ujście Warty, gdzie pojedyncze pary gniazdowały jeszcze w roku 2018 (Zbyryt 2019). Stwierdzono próbę lęgu 2 p. (toki i budowa gniazd) na stawach Wielikąt na Górnym Śląsku, jednak ptaki ostatecznie opuściły stanowisko (Beuch 2019b). Najliczniejszy czapliniec w 2019 r. znajdował się na wyspie jez. Gaładuś na Suwalszczyźnie i skupiał 188 zajętych gniazd (A. Zbyryt). Od roku 2020 w ramach MPP prowadzony jest monitoring gatunku na wszystkich znanych stanowiskach lęgowych w Polsce.

Tabela 14. Liczba par, zajętych powierzchni 10 × 10 km i rozpowszechnienie (%) czapli białej *Ardea alba* w regionach ornitologicznych Polski w roku 2019

Table 14. Number of pairs (1), occupied 10 × 10 km squares (2) and occupancy (3) of the Great Egret in ornithological regions in Poland in 2019. (4) – total

	DS	GS	KU	LD	LL	MP	MZ	PK	PL	PM	SW	WM	WP	ZL	Razem (4)
N par (1)		2			48				190			138			378
N pow. (2)		1			2				2			3			8
Rozp. (%) (3)		0,7			0,8				1			1,2			0,2

Rybołów *Pandion haliaetus*

Liczebność: 27 p.

Trend: spadek (2000–2019)

Kompletność: bardzo wysoka

Stwierdzono 25 par z gniazdami, 1 rewir z pojedynczym ptakiem oraz rewir pary lęgowej, która posiada gniazda po obu stronach granicy polsko-rosyjskiej, a w roku 2019 przystąpiła do lęgu w Rosji (MPP 2019). Stanowiska lęgowe zlokalizowane były w 4 regionach (tab. 15). Zarówno liczebność, jak i rozpowszechnienie osiągnęły jedne z najniższych wartości od roku 2000, kiedy rozpoczęto monitoring tego gatunku. Liczba par w tym okresie zmniejszyła się o połowę, a rozpowszechnienie o 40% (MPP 2019). W latach 2000–2019 nastąpił spadek sukcesu lęgowego (w roku 2019 wyniósł 61,5%) przy jednoczesnym wzroście produktywności (w roku 2019 wynosiła ona 2,4 pisklęcia/parę z sukcesem oraz 1,5 pisklęcia/parę przystępującą do lęgów). W roku 2019 rybołowy odchowaly 38 piskląt. W 7 gniazdach stwierdzono po 2 młode, a w 6 gniazdach po 3 młode. Tylko w dwóch gniazdach pary odchowaly po jednym młodym. Po raz drugi w trakcie trwania monitoringu jedna z par odchowala czwórkę młodych (MPP 2019).

Tabela 15. Liczba par, zajętych powierzchni 10×10 km i rozpowszechnienie (%) rybołowa *Pandion haliaetus* w regionach ornitologicznych Polski w roku 2019

Table 15. Number of pairs (1), occupied 10×10 km squares (2) and occupancy (3) of the Western Osprey in ornithological regions in Poland in 2019. (4) – total

	DS	GS	KU	LD	LL	MP	MZ	PK	PL	PM	SW	WM	WP	ZL	Razem (4)
N par (1)										5		11	6	5	27
N pow. (2)										5		8	5	4	22
Rozp. (%) (3)										1,0		3,2	1,4	3,2	0,7

Gadożer *Circaetus gallicus*

Liczebność: 3 p.

Trend: spadek (2000–2019)

Kompletność: wysoka

Stwierdzono 3 pary, wszystkie na Lubelszczyźnie (tab. 16). Podobnie jak rok wcześniej para w Puszczy Solskiej odchowala jednego młodego (P. Stachyra i in.). Zajęte rewiry (bez potwierzonego lęgu) stwierdzono w rejonie Krowiego Bagna, gdzie kilkakrotnie w sezonie lęgowym obserwowano parę (S. Aftyka, J. Mydlak i in.) oraz w Lasach Sobiborskich, gdzie co najmniej trzykrotnie widywano ptaka lecącego z pokarmem (R. Bochen, M. Filipiuk, Ż. Lachowska-Filipiuk). Populacja lęgowa gadożera w Polsce obniżyła się z 20–30 p. w latach 1970. do zaledwie 1–5 p. w latach 2013–2018 (Tomiałojć & Stawarczyk 2003, Chodkiewicz et al. 2019). Współczesne przypadki gniazdowania tego gatunku mają miejsce tylko we wschodniej części kraju, głównie na Lubelszczyźnie (Stawarczyk et al. 2017).

Tabela 16. Liczba par, zajętych powierzchni 10×10 km i rozpowszechnienie (%) gadożera *Circaetus gallicus* w regionach ornitologicznych Polski w roku 2019

Table 16. Number of pairs (1), occupied 10×10 km squares (2) and occupancy (3) of the Short-toed Snake Eagle in ornithological regions in Poland in 2019. (4) – total

	DS	GS	KU	LD	LL	MP	MZ	PK	PL	PM	SW	WM	WP	ZL	Razem (4)
N par (1)					3										3
N pow. (2)					3										3
Rozp. (%) (3)					1,2										0,1

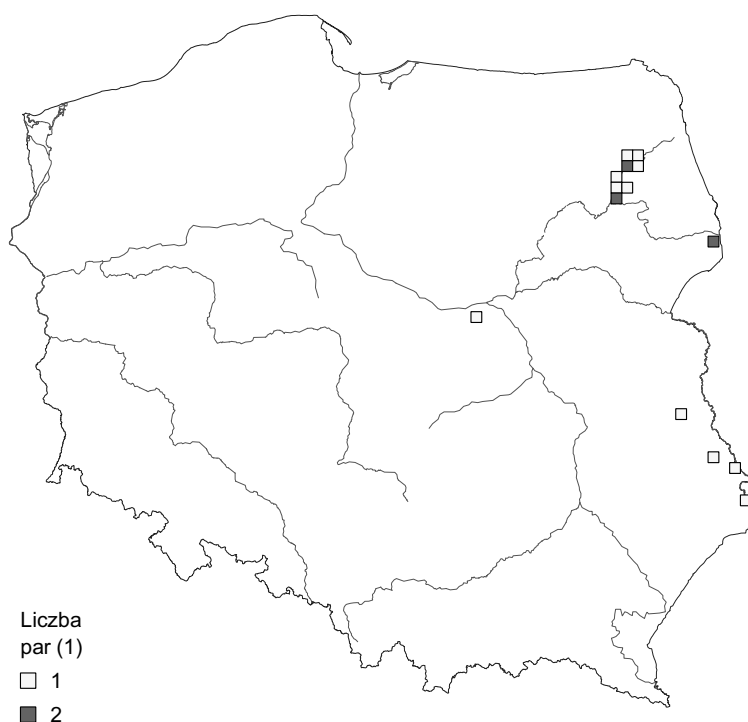
Orlik grubodzioby *Clanga clanga*

Liczebność: 17 p.

Trend: stabilny (2000–2019)

Kompletność: bardzo wysoka

Odnotowano 17 przypadków lęgów orlika grubodziobego w 3 regionach (tab. 17, rys. 6). Najwięcej par (12) gniazdowało na Podlasiu, głównie w Ostoi Biebrzańskiej (10). Na 6 stanowiskach biebrzańskich gniazdowały czyste pary. Dwie pary tworzyły samice orlika grubodziobego z samcami orlika krzykliwego *Clanga pomarina*, a pozostałe dwie pary samice orlika grubodziobego z samcami będącym międzygatunkowymi mieszancami tych dwóch gatunków. Poza Kotliną Biebrzańską 2 p. wykryto w Puszczy Białowieskiej (jedna para czysta i jedna para, w której samica orlika grubodziobego sparowana była z prawdopodobnym mieszancem). Ponadto 1 p. czysta i 3 p. mieszane gniazdowały na Lubelszczyźnie (S. Aftyka, J. Wójciak) oraz 1 p. mieszana w Puszczy Kampinoskiej (A. Olszewski, J. Matusiak). Oznaczenie wszystkich dorosłych ptaków tworzących pary lęgowe oparto wyłącznie o cechy fenotypowe. Sukces gniazdowy podlaskiej populacji orlików grubodziobych wynosił w roku 2019 75% (MPP 2019), co stanowi jedną z wyższych wartości odnotowanych w ostatnich 20 latach (Sikora et al. 2020).



Rys. 6. Rozmieszczenie stanowisk lęgowych orlika grubodziobego *Clanga clanga* w Polsce w roku 2019 (uwzględniono pary mieszane *C. pomarina* × *C. clanga* lub pary z osobnikami będącymi mieszancami tych dwóch gatunków)

Fig. 6. Distribution of the Greater Spotted Eagle breeding sites in Poland in 2019 (including mixed pairs *C. pomarina* × *C. clanga* or pairs with individuals that are hybrids of these two species). (1) – number of breeding pairs in each 10 × 10 km square

Tabela 17. Liczba par, zajętych powierzchni 10 × 10 km i rozpowszechnienie (%) orlika grubodziobego *Clanga clanga* w regionach ornitologicznych Polski w roku 2019. W zestawieniu uwzględniono pary mieszane *C. pomarina* × *C. clanga* lub pary z osobnikami będącymi mieszańcami tych dwóch gatunków.

Table 17. Number of pairs (1), occupied 10 × 10 km squares (2) and occupancy (3) of the Greater Spotted Eagle in ornithological regions in Poland in 2019. Table includes mixed pairs (*C. pomarina* × *C. clanga*) or pairs with individuals that are hybrids of these two species. (4) – total

	DS	GS	KU	LD	LL	MP	MZ	PK	PL	PM	SW	WM	WP	ZL	Razem (4)
N par (1)					4		1		12						17
N pow. (2)					4		1		9						14
Rozp. (%) (3)					1,8		0,2		4,3						0,4

Orzeł przedni *Aquila chrysaetos*

Liczebność: 33 p.	Trend: stabilny (2000–2019)	Kompletność: bardzo wysoka
-------------------	-----------------------------	----------------------------

Wykazano 33 pary orła przedniego gniazdujące w 4 regionach (tab. 18). Prawie cała populacja zasiedlała Karpaty (31 p.), a ponadto 2 p. stwierdzono w okolicach Słowińskiego PN. W 23 rewirach wykryto zasiedlone gniazda, w 9 z nich lęgi zakończyły się sukcesem (łącznie 9 młodych). Sukces lęgowy wyniósł 39%. Liczba młodych w przeliczeniu na gniazdo z sukcesem osiągnęła poziom 1,0, a w przeliczeniu na parę lęgową 0,39. Produktivność populacji w latach 2000–2019 nie wykazywała kierunkowych zmian (MPP 2019). Populacja orła przedniego była w ostatnich kilkunastu latach stabilna, a długoterminowo (od lat 80. XX w.) wzrastała liczebnie (Chylarecki et al. 2018, Wilk et al. 2020). Zasięg lęgowy w kraju nie zmieniał się istotnie, nieznacznie rozszerzył się w Karpatach (Wilk et al. 2016, Stój 2019).

Tabela 18. Liczba par, zajętych powierzchni 10 × 10 km i rozpowszechnienie (%) orła przedniego *Aquila chrysaetos* w regionach ornitologicznych Polski w roku 2019

Table 18. Number of pairs (1), occupied 10 × 10 km squares (2) and occupancy (3) of the Golden Eagle in ornithological regions in Poland in 2019. (4) – total

	DS	GS	KU	LD	LL	MP	MZ	PK	PL	PM	SW	WM	WP	ZL	Razem (4)
N par (1)		2				10		19		2					33
N pow. (2)		2				9		18		2					31
Rozp. (%) (3)		1,5				4,2		9,1		0,4					0,9

Uszatka błotna *Asio flammeus*

Liczebność: 5 p.	Trend: fluktuacje (2000–2019)	Kompletność: niska
------------------	-------------------------------	--------------------

Stwierdzono 5 par na trzech stanowiskach (tab. 19). W Dolinie Biebrzy obserwowano tokującą parę na Bagnie Ławki (R. Mikusek, B. Głębocka) oraz 3 pary noszące pokarm k. Wrocenia (S. Czernek, A. Grajewska). Po kilkudziesięciu latach potwierdzono gniazdowanie uszatki błotnej na Mazowszu w OSO Doliny Przysowy i Słudwi, gdzie 1 para wyprowadziła z sukcesem 2 lęgi (Matyjasiak et al. 2019). Populacja uszatki błotnej silnie fluktuuje, np. na najważniejszym krajowym lęgowisku w Dolinie Biebrzy od kilku par (np. w latach 2008 i 2012), do 30–35 p. w roku 2015 (Stawarczyk et al. 2017).

Tabela 19. Liczba par, zajętych powierzchni 10 × 10 km i rozpowszechnienie (%) uszatki błotnej *Asio flammeus* w regionach ornitologicznych Polski w roku 2019

Table 19. Number of pairs (1), occupied 10 × 10 km squares (2) and occupancy (3) of the Short-eared Owl in ornithological regions in Poland in 2019. (4) – total

	DS	GS	KU	LD	LL	MP	MZ	PK	PL	PM	SW	WM	WP	ZL	Razem (4)
N par (1)							1		4						5
N pow. (2)							1		2						3
Rozp. (%) (3)							0,1		1,0						0,1

Puszczyk mszarny *Strix nebulosa*

Liczebność: 10 p.	Trend: wzrost (2010–2019)	Kompletność: wysoka
-------------------	---------------------------	---------------------

Wykryto 10 par puszczyka mszarnego w Polsce (tab. 20). Wszystkie pary gniazdowały na Polesiu Lubelskim w 4 kwadratach 10 × 10 km, na których wykryto 9 p. lęgowych oraz 1 p. w kategorii gniazdowania prawdopodobnego. Podobnie jak w poprzednich latach większość populacji występowała w Lasach Sobiborskich, gdzie gniazdowało 8 p. (B. Woźniak, S. Aftyka i in.). Ponadto 1 p. gniazdowała w Lasach Włodawskich (A. Aftyka, S. Aftyka) oraz pojedynczego ptaka w kategorii gniazdowania prawdopodobnego zarejestrowano dzięki fotopułapce w Poleskim PN, gdzie widywany był na sztucznej platformie lęgowej na zmianę z puchaczem *Bubo bubo* (S. Aftyka). Pomimo fluktuacji związanych z dostępnością pokarmu, stwierdzono wzrostowy trend liczebności gatunku (Sikora et al. 2020).

Tabela 20. Liczba par, zajętych powierzchni 10 × 10 km i rozpowszechnienie (%) puszczyka mszarnego *Strix nebulosa* w regionach ornitologicznych Polski w roku 2019

Table 20. Number of pairs (1), occupied 10 × 10 km squares (2) and occupancy (3) of the Great Gray Owl in ornithological regions in Poland in 2019. (4) – total

	DS	GS	KU	LD	LL	MP	MZ	PK	PL	PM	SW	WM	WP	ZL	Razem (4)
N par (1)					10										10
N pow. (2)					4										4
Rozp. (%) (3)					1,7										0,1

Kraska *Coracias garrulus*

Liczebność: 13 p.	Trend: spadek (2006–2019)	Kompletność: bardzo wysoka
-------------------	---------------------------	----------------------------

Stwierdzono zaledwie 13 par lęgowych (MPP 2019; tab. 21). Dodatkowo na 6 stanowiskach obserwowano pojedyncze ptaki nieprzystępujące do lęgów. Jest to najniższa liczebność od początku trwania monitoringu tego gatunku (MPP 2019). Głównym ob-

Tabela 21. Liczba par, zajętych powierzchni 10 × 10 km i rozpowszechnienie (%) kraski *Coracias garrulus* w regionach ornitologicznych Polski w roku 2019

Table 21. Number of pairs (1), occupied 10 × 10 km squares (2) and occupancy (3) of the European Roller in ornithological regions in Poland in 2019. (4) – total

	DS	GS	KU	LD	LL	MP	MZ	PK	PL	PM	SW	WM	WP	ZL	Razem (4)
N par (1)							12	1							13
N pow. (2)							6	1							7
Rozp. (%) (3)							1,5	0,5							0,2

szarem gniazdowania pozostaje Równina Kurpiowska na Mazowszu, gdzie występowało 12 p. Jedną parę lęgową stwierdzono także na Podkarpaciu. Liczebność w stosunku do roku 2018 (Sikora et al. 2020) zmniejszyła się aż o 5 p. (28%). Uzyskane dane wskazują na dalszy postępujący spadek liczebności oraz rozpowszechnienia kraski w Polsce. Populacja podlaska prawdopodobnie wyginęła, a na Podkarpaciu od roku 2016 kraski obserwowane są tylko na jednym stanowisku (MPP 2019).

Sokół wędrowny *Falco peregrinus*

Liczebność: 49 p. Trend: wzrost (2000–2019) Kompletność: wysoka

Odnotowano 49 par, w tym co najmniej 35 par z młodymi. Stanowiska lęgowe stwierdzono w 10 regionach, głównie na Pomorzu (17 p.) i Dolnym Śląsku (12 p.). W pozostałych regionach stwierdzono od 1 do 6 p. (tab. 22). Najwięcej par występowało na nizinach (71%), w tym 22 p. na terenach miejskich i 11 p. w lasach (Stowarzyszenie Na Rzecz Dzikich Zwierząt Sokół 2019; fot. 3) oraz 2 p. w kamieniołomach na Dolnym Śląsku (Czubat et al. 2021, K. Żarkowski, A. Rajska). W górach występowało 14 p., w tym 5

Tabela 22. Liczba par sokoła wędrownego *Falco peregrinus* w regionach ornitologicznych Polski w roku 2019

Table 22. Number of pairs (1) of the Peregrine Falcon in ornithological regions in Poland in 2019. (2) – total

	DS	GS	KU	LD	LL	MP	MZ	PK	PL	PM	SW	WM	WP	ZL	Razem (2)
N par (1)	12		2	1	2	6	4			17		1	3	1	49

Fot. 3. Sokół wędrowny *Falco peregrinus*, Puszcza Barlinecka, Pomorze, 15.05.2019 (fot. S. Sielicki) – Peregrine Falcons, Barlinecka Forest, May 2019



p. w Karkonoszach (P. Wasiak i in.) oraz po 3 p. w Górach Stołowych (R. Mikusek), Pieniach (Pieniński PN, B. Kozik) i Tatrach (Tatrzański PN, J. Rabiasz). W okresie ostatnich 20 lat populacja sokoła wędrownego w Polsce wzrosła pięciokrotnie, od ok. 10 p. w latach 2000–2008 (Mizera & Sielicki 2009), 15–20 p. w latach 2008–2012 (Chodkiewicz et al. 2015), ok. 30 p. w roku 2016 (Stawarczyk et al. 2017) i do ok. 50 p. w roku 2019.

Aleksandretta obrożna *Psittacula krameri*

Aleksandretta obrożna została wpisana na listę gatunków lęgowych w Polsce po stwierdzeniu pewnego gniazdowania 1 pary w roku 2018 w Nysie na Opolszczyźnie (Szelağ et al. 2018). W roku 2019 nie udało się tam potwierdzić lęgów pomimo licznych obserwacji ptaków przez cały rok, w tym maksymalnie do 5–6 osobników zarówno na początku, jak i pod koniec roku 2019. Może to sugerować, że ptaki nie gniazdowały w ogóle lub nie odniosły sukcesu lęgowego. Poza Nysą, pojedyncze aleksandretty obrożne w sezonie lęgowym obserwowano 29.06 w Częstochowie (P. Hermański) i 14.07 w Nowym Sączu (A. Fröhlich), ale były to najprawdopodobniej niełęgowe osobniki.

„Srokosz stepowy” *Lanius excubitor homeyeri*

Liczebność: 1 p.

Trend: nieokreślony (2013–2019)

Kompletność: niska

W maju i czerwcu na stawach w Ujeździe na Podkarpaciu udokumentowano udany lęg (3 pisklęta) pary, w której jeden dorosły wykazywał cechy „srokosza stepowego” (K. Paryś, Z. Niziołek). Był to czwarty przypadek lęgu tego podgatunku w Polsce, po stwierdzeniach na Ziemi Łódzkiej w 2013 r., Podlasiu w 2016 r. i Kujawach w 2018 r. (Stawarczyk et al. 2017, Komisja Faunistyczna 2017, 2019). Ponadto, w roku 2019 w okresie lęgowym, pomiędzy 28.04 a 20.07, odnotowano cztery stwierdzenia pojedynczych „srokoszy stepowych” (Beuch et al. 2021).

Czarnowron *Corvus corone*

Liczebność: 3 p.

Trend: nieokreślony (2000–2019)

Kompletność: średnia

Mieszane pary czarnowrona z wroną siwą *Corvus cornix* stwierdzono na 3 stanowiskach: w Świeradowie-Zdroju na Dolnym Śląsku (T. Maszkało), na terenie ogrodu zoologicznego w Chorzowie (K. Koźlik, S. Beuch) oraz w Łodzi w Parku Poniatowskiego (M. Nowicki). Dwa ostatnie stanowiska zajmowane są przez mieszane pary od co najmniej kilku lat. Ponadto w Zabrze-Mikulczycach stwierdzono udany lęg pary wrony siwej z mieszańcem czarnowrona i wrony siwej (S. Beuch). Lęgi czystych par czarnowronów stwierdzono w Polsce tylko trzykrotnie. Większość stwierdzonych lęgów dotyczyła par mieszanych (Stawarczyk et al. 2017).

Wodniczka *Acrocephalus paludicola*

Liczebność: 4 500 ♂♂

Trend: wzrost (2011–2019)

Kompletność: bardzo wysoka

Gniazdowanie wodniczki potwierdzono w 4 regionach (tab. 23). Na 100 losowych transektach w głównym areale gatunku (Biebrzański PN, Chełmskie Torfowiska Węglanowe, Bagno Bubnów) odnotowano łącznie 1 194 śpiewające samce. W porównaniu do roku 2018, dla którego oceniono wielkość populacji na podstawie danych transektowych, liczebność na transektach była wyższa jedynie o 11 s., stąd zdecydowano utrzymać ocenę liczebności na poziomie 4 400 s. (por. Sikora et al. 2020). Ponadto na 14 stanowiskach

Tabela 23. Liczba zajętych powierzchni 10 × 10 km i rozpowszechnienie (%) wodniczki *Acrocephalus paludicola* w regionach ornitologicznych Polski w roku 2019

Table 23. Number occupied 10 × 10 km squares (1) and occupancy (2) of the Aquatic Warbler in ornithological regions in Poland in 2019. (3) – total

	DS	GS	KU	LD	LL	MP	MZ	PK	PL	PM	SW	WM	WP	ZL	Razem (3)
N pow. (1)					6				14	2				1	23
Rozp. (%) (2)					2,6				6,8	0,4				0,8	0,7

w pozostałej części kraju występowało łącznie 101 s. (MPP 2019, ornitho.pl). Najwięcej z nich odnotowano w dolinie Narwi: na Bagnie Wizna (51 s.), w Narwiańskim PN (4 s.), w okolicy Zajek (5 s.) i Drozdowa (2 s.). Ponadto, na Podlasiu 1 s. stwierdzono w ujściu rzeki Sidry do Biebrzy. Na Lubelszczyźnie występowała w dolinie Tyśmienicy (12 s.), na torfowisku Ciesacin (m. Garbatówka) (8 s.), a nowe stanowisko wykryto na Krowim Bagnie (2 s.). W zachodniej Polsce wodniczka występowała na 6 stanowiskach: w PN Ujście Warty (5 s.) oraz na Pomorzu Zachodnim na Bagnach Rozwarowskich (8 s.) oraz w Delcie Świny (po 1 s. na wyspach Warnie Kępy, Karsiborska Kępa i Zajęcze Łęgi) (MPP 2019, ornitho.pl). Dane transektowe wskazują na umiarkowany wzrost liczebności wodniczki we wschodniej Polsce w latach 2011–2019 (MPP 2019). W tym okresie trwały jednak wycofywanie się gatunku z zachodniej Polski, gdzie nastąpił zanik większości stanowisk i drastyczne obniżenie się liczebności (Żmihorski et al. 2016, MPP 2019, Dyrz 2020).

Wójcik *Phylloscopus trochiloides*

Liczebność: 0 p.	Trend: fluktuacje (2000–2019)	Kompletność: średnia
------------------	-------------------------------	----------------------

W roku 2019, pomimo stosunkowo wysokiej liczby śpiewających samców stwierdzonych w 11 regionach kraju, nie potwierdzono lęgów gatunku w Polsce (Beuch et al. 2021).

Pomurnik *Tichodroma muraria*

Liczebność: nieznana (min. 1 p.)	Trend: spadek (2000–2019)	Kompletność: niska
----------------------------------	---------------------------	--------------------

Odnotowano tylko jedną parę lęgową gniazdującą w rejonie Raptawickiej Turni w Tatrzańskim PN. Od początku XXI w. Tatry są jedynym miejscem występowania pomurnika w Polsce. Podobnie jak w innych miejscach w Europie położonych poza Alpami (Keller et al. 2020) w ostatnich 30 latach odnotowano tam zanikanie populacji lęgowej. W latach w 90. XX w. populację w Tatrach oceniono jeszcze na 16–19 p., w roku 2006 już tylko na 5–10 p. (Stępniewski & Cichocki 2011), a w roku 2015 na 3–5 p. (Cichocki & Stępniewski 2016). W Tatrach występuje duża liczba skalistych ścian, na których mogą występować niewykryte stanowiska pomurnika, stąd do oszacowania aktualnej liczebności wymagane jest przeprowadzenie pełnej inwentaryzacji gatunku.

Droździk *Turdus iliacus*

Liczebność: nieznana	Trend: spadek (2000–2019)	Kompletność: niska
----------------------	---------------------------	--------------------

W roku 2019 nie stwierdzono lęgów droździka. Dokonano jedynie dwóch obserwacji śpiewających samców na Podlasiu: 11.05 w Barwiku w dolinie Biebrzy (A. Henel, K. Henel) i 14.05 w Białowieży (O. Karpińska).

„Pliszka tundrowa” *Motacilla flava thunbergi*

Liczebność: 4 p.	Trend: niezany (2000–2019)	Kompletność: niska
------------------	----------------------------	--------------------

„Pliszkę tundrową” wykryto w 3 regionach na 4 stanowiskach (tab. 24). Na Mazowszu na Bagnie Całowanie obserwowano parę z 2 podlotkami, w której samiec wykazywał cechy tego podgatunku (S. Beuch i in.). Na Podkarpaciu k. Wólki Bielińskiej w pobliżu Sanu widziano parę nosząca pokarm (Ł. Cudziło). Kolejne 2 stanowiska pochodzą z Podlasia, gdzie obserwowano pojedyncze samce; noszącego pokarm koło rz. Biebrzy na wysokości Dolistowa Nowego (Ł. Krajewski) i terytorialnego w dolinie Narwi koło m. Puchły (G. Grygoruk). Stwierdzenia z roku 2019 miały miejsce w części wschodniej kraju, skąd pochodzi większość łęgów tego podgatunku w Polsce (Stawarczyk et al. 2017).

Tabela 24. Liczba par, zajętych powierzchni 10 × 10 km i rozpowszechnienie (%) „pliszki tundrowej” *Motacilla flava thunbergi* w regionach ornitologicznych Polski w roku 2019

Table 24. Number of pairs (1), occupied 10 × 10 km squares (2) and occupancy (3) of the Grey-headed Wagtail in ornithological regions in Poland in 2019. (4) – total

	DS	GS	KU	LD	LL	MP	MZ	PK	PL	PM	SW	WM	WP	ZL	Razem (4)
N par (1)							1	1	2						4
N pow. (2)							1	1	2						4
Rozp. (%) (3)							0,2	0,5	1,0						0,1

Pliszka cytrynowa *Motacilla citreola*

Liczebność: 35 p. (poza Bagnami Biebrzańskimi)	Trend: niezany (2000–2019)	Kompletność: średnia
--	----------------------------	----------------------

Pliszka cytrynowa gniazdowała w 5 regionach (tab. 25). Poza głównym łęgowskim na Bagnach Biebrzańskich (skupiającym we wcześniejszych latach 60–130 p.; Krajewski 2016) liczniej występowała na Pomorzu, gdzie stwierdzono 14 p. na 4 stanowiskach w: rez. Beka (8 p., A. Kośmicki i in.), Górkach Zachodnich w Gdańsku (3 p., A. Sikora, A. Szuksztul), rez. Bielawa (2 p., A. Sikora) oraz przy rez. Jezioro Drużno k. Dłużyny (1 p., H. Guziak, B. Więckowska). Na Podlasiu stwierdzono 12 p. na 5 stanowiskach: w kopalni torfu Lewsze (5 p., G. Grygoruk), w dolinie Narwi koło m. Puchły (4 p., G. Grygoruk) oraz Cieluszki (1 p., T. Tumiel), a także na stawach Wality w dolinie Supraśli (1 p., G. Grygoruk). W dolinie Biebrzy koło m. Stara Kamienna, poza głównym arealem jej występowania, stwierdzono 1 p. (J. Pińkowska). W Małopolsce stwierdzono 6 p. na 3 stanowiskach: na Stawach Przeręb (1 p., P. Malczyk i in.), na Zb. Orawskim (3 p., M. Jarończyk i in.) oraz na zb. Poraj (2 p., P. Bulski i in.). Pliszka cytrynowa gniazdowała również na

Tabela 25. Liczba par, zajętych powierzchni 10 × 10 km i rozpowszechnienie (%) pliszki cytrynowej *Motacilla citreola* w regionach ornitologicznych Polski w roku 2019 (poza głównym łęgowskim na Bagnach Biebrzańskich)

Table 25. Number of pairs (1), occupied 10 × 10 km squares (2) and occupancy (3) of the Citrine Wagtail in ornithological regions in Poland in 2019 (outside the main breeding area in the Biebrza Marshes). (4) – total

	DS	GS	KU	LD	LL	MP	MZ	PK	PL	PM	SW	WM	WP	ZL	Razem (4)
N par (1)		2				6	1		12	14					35
N pow. (2)		2				3	1		4	4					14
Rozp. (%) (3)		1,5				1,4	0,2		1,9	0,8					0,4



Fot. 4. Hybryda pliszki cytrynowej *Motacilla citreola* i pliszki żółtej *M. flava*, Dąbrowa Górnicza, Górny Śląsk, 24.04.2019 (fot. R. Gwóźdź) – *Hybrid Citrine Wagtail and Western Yellow Wagtail, Dąbrowa Górnicza, April 2019*

2 stanowiskach na Górnym Śląsku: na zb. Świerklaniec (1 p., S. Beuch) i w Dąbrowie Górniczej, gdzie samica wykazywała cechy mieszańca z pliszką żółtą *Motacilla flava* (R. Gwóźdź, fot. 4) oraz na jednym stanowisku na Mazowszu w okolicy m. Marianów (1 p., E. Szczepankiewicz).

Dziękujemy wszystkim obserwatorom, którzy przekazali swoje obserwacje do regionalnych kartotek ornitologicznych, ogólnokrajowej bazy obserwacji ornitho.pl lub bezpośrednio do koordynatorów Kartoteki Rzadkich Ptaków. Mamy nadzieję, że przedstawione w raporcie wyniki zachęcą Was do kontynuowania współpracy, a pozostałych do wprowadzania swoich danych do internetowych baz, tak by kolejne raporty były jeszcze bardziej kompletne.

Lista obserwatorów: R. Adamiak, A. Aftyka, S. Aftyka, M. Aleksandrowicz, A. Andrzejczyk, K. Antczak, J. Antczak, P. Antoniewicz, K. Antoń, M. Bagińska, T. Bajdak, A. Bałdyga, M. Baran, P. Baranowski, M. Barcz, J. Barczyk, J. Bartoń, T. Baziak, A. Bąk, Ł. Bednarz, M. Bełcik, J. Betleja, S. Beuch, K. Beuge, P. Białomyzy, J. Biecek, N. Bilewska, T. Biwo, R. Bochen, T. Bocian, T. Bojarowski, K. Bomba, A. Borla, M. van den Bosch, K. Bosek, B. Brewka, S. Broński, C. Brummer, M. Buchalik, A. Buczyński, M. Bukacińska, D. Bukaciński, K. Bul, P. Bulski, Z. Cenian, M. Charymski, G. Chlebiak, T. Chodkiewicz, A. Chwierut, J. Ciemińska, T. Cimochoński, M. Cmoch, Ł. Cudziło, R. Cymbała, K. Czajowski, D. Cząstkiewicz, S. Czernek, B. Czerwiński, S. Czyż, I. Danielecka, R. Danielecki, M. Dec, I. Długosz, M. Długosz, A. Dmoch, P. Doboszewski, P. Dombrowski, A. Drzazgowska, M. Duda, K. Dudzik, J. Dukała, M. Dyduch, M. Dylawerski, M. Dziermańska, P. Fatyga, I. Fedyń, D. Fikus, M. Filipek, M. Filipiuk, A. Furdyna, S. Gacek, P. Gajewski, M. Gajewski, M. Gałan, M. Gąska, A. Gerersdorf, M. Gierszewski, J. Gil, S. Giza, B. Głębocka, A. Goławski, A. Gorczewski, N. Gorczowska, A. Górski, A. Grajewska, A. Grebieniow, I. Gryć, G. Grygoruk, J. Grzybek, G. Grzywaczewski, R. Gwóźdź, M. Hadwiczak, F. Hayatli, A. Henel, K. Henel, P. Hermański, S. Huzarski, T. Iciek, J. Jagielko, A. Jakimowicz, M. Jakubiuk, T. Janiszewski, K. Jankowski, Ł. Janocha, M. Jantarski, M. Jarończyk, Z. Jaszcz, J. Jezierski, G. Jędro, A. Jędrzejko, M. Jobda, S. Kaczmarek, K. Kajzer, Z.

Kajzer, M. Kalisiński, Ł. Kałużny, R. Karasińska, J. Karasiński, M. Karpeta, O. Karpińska, J. Karwacki, J. Karwacki, K. Kata, R. Kempa, M. Klewiado, P. Klukiewicz, K. Kmieć-Kwasek, T. Kobylas, A. Konopka, G. Kopka, S. Korczyński, M. Korga, M. Kornat, M. Korniluk, A. Kośmicki, B. Kotlarz, C. Kownacki, B. Kozik, M. Kozioł, K. Koźlik, Ł. Krajewski, Ł. Krajewski, P. Krawczyk, D. Krämer, J. Krogulec, W. Kroker, T. Królak, K. Krukowski, A. Krupa, R. Kubacki, S. Kuczmarowski, A. Kuczyńska, D. Kujawa, T. Kułakowski, P. Kunowski, Ł. Kurnicki, B. Kusal, M. Kuszner, B. Kwarcianny, P. Kwiatkowski, Ż. Lachowska-Filipiuk, M. Lanckoroński, M. Ledwoń, M. Lemiesz, W. Lenkiewicz, B. Lesner, P. Lewandowski, H. Linert, A. Lorecki, K. Lubińska, D. Łapiński, I. Ławicka, Ł. Ławicki, A. Łepeck, A. Łobodzińska, M. Łodziński, S. Łopacki, H. Łożyńska, M. Łukasiewicz, J. Maciocha, P. Majchrzak, J. Makowski, P. Malczyk, K. Malec, M. Maluśkiewicz, M. Małek, B. Manikowska-Ślepowrońska, A. Marcińczyk, P. Marczakiewicz, P. Marczakowski, K. Marczewski, M. Maszkało, T. Maszkało, J. Matusiak, K. Matusik, Ł. Matyjasiak, M. Mazurek, P. Mazurek, D. Mazurkiewicz, M. Mejsak, S. Menderski, D. Mentlewicz, J. Michalczyk, W. Michalczyk, W. Michalik, S. Michoń, W. Miczajka, S. Mielczarek, K. Mieszala, R. Mikusek, P. Minias, P. Mirski, T. Mizera, S. Młynarski, J. Moczarska, K. Mosiński, W. Mrowiec, A. Mrugasiewicz, M. Murawski, T. Musiał, J. Mydla, M. Nagler, M. Naranowicz, J. Niemiec, M. Nieoczym, S. Niziński, Z. Niziołek, B. Nowak, M. Nowicki, P. Obłoz, W. Okupniczak, W. Oleś, A. Olszewski, B. Orłowska, G. Orłowski, J. Orłowski, A. Oruba, R. Orzechowski, G. Pac, D. Palubicki, D. Panasiuk, E. Paprzycka, Z. Paśnik, J. Pawelec, P. Pawłowicz, J. Pestka, S. Pestka, D. Piec, D. Piechota, R. Piekarski, E. Pierzchała, J. Pińkowska, W. Plata, P. Pluciński, M. Pluta, P. Podlas, B. Polanin, K. Polański, B. Popiołek, G. Potakiewicz, W. Póltorak, P. Profus, J. Pruchniewicz, M. Pruszyński, J. Przedzimirski, J. Przyborowska, T. Przybyliński, M. Przysański, J. Rabiasz, W. Raczkowski, P. Radek, M. Radziszewski, A. Rajska, D. Rancew-Sikora, J. Rapczyński, J. Regner, M. Ritz, M. Rodziewicz, M. Rowicki, P. Różyc, S. Rubacha, A. Ryś, M. Rzępała, K. Sawa, G. Schneider, S. Sendera, A. Sereda-Czastkiewicz, M. Sęk, R. Sęk, M. Sidelnik, S. Sielicki, P. Sieracki, A. Sikora, D. Sikora, M. Skalba, M. Słowikowski, L. Smyk, J. Smykla, J. Snopek, S. Snopek, G. Sobczak, T. Sobuś, M. Sołowiej, P. Stachyra, M. Stajszczyk, J. Stalenga, L. Stankiewicz, J. Stasiak, K. Stasiak, A. Stawicka, J. Stępniewski, M. Stój, K. Struś, E. Suchożebrska, A. Sulej, A. Syguła, M. Sykała, P. Sykała, J. Synowiecki, P. Szałański, E. Szczepankiewicz, R. Szczępek, P. Szczypiński, P. Szewczyk, Ł. Szmatawicz, A. Szpara, M. Szumski, A. Szwagierczak, M. Szwarz, J. Szymczak, M. Szymkiewicz, M. Szyszka, M. Szyszuk, A. Śliwińska, S. Śliwiński, D. Świetlicka, P. Świętochowski, D. Światała, M. Światała, F. Tanneberger, P. Tetkowski, H. Thiele, M. Toryfter, A. Traczyk, M. Trybała, K. Trzciniński, T. Tumiel, S. Turowski, M. Twardowski, J. Typiak, Ł. Ulbrych, M. Urban, P. Waclawik, R. Wakulski, R. Walczybok, Ł. Wardecki, P. Wasiak, S. Wasiak, M. Watras, M. Wawirowicz, M. Wereszczuk, K. Węglarz, D. Wiehle, T. Wilk, H. Winkler, J. Witkowski, A. Włodarczyk-Komosńska, J. Włodarz, Z. Wnuk, J. Wojtczak, M. Wołowik, B. Woźniak, P. Woźniak, M. Woźny, J. Wójciak, C. Wójcik, S. Wręga, K. Wrzecionkowski, J. Wyka, P. Wylegała, K. Wypychowski, J. Wyrwał, J. Wyśniński, T. Zarzycki, M. Zawadzki, A. Zbigniew, D. Zborowski, A. Zbyryt, R. Zdrojewski, P. Zieliński, P. Zielonka, M. Ziółkowski, M. Zygmont, K. Żarkowski.

Za udostępnienie zdjęć do niniejszej publikacji dziękujemy R. Gwoździowi.

Literatura

- Beuch S. 2019a. Występowanie kaczek właściwych Anatini i grążyc Aythini w okresie lęgowym na Śląsku w latach 2018–2019. Ptaki Śląska 26: 5–33.
- Beuch S. 2019b. Pierwsza od ponad 40 lat próba lęgu czapli białej *Ardea alba* na Śląsku. Ptaki Śląska 26: 136–139.
- Beuch S., Chodkiewicz T., Ławicki Ł., Wylegała P., Cymbała R., Czechowski P., Czyż S., Dębowski P., Dylak A., Grygoruk G., Guzik W., Jankowski K., Kajzer Z., Matyjasiak Ł., Smyk B., Wężyk M., Sikora A. 2021. Kartoteka Rzadkich Ptaków w Polsce w roku 2019 – gatunki nielegowe. Ornis Pol. 62: 210–242.
- Chodkiewicz T., Kuczyński Ł., Sikora A., Chylarecki P., Neubauer G., Ławicki Ł., Stawarczyk T. 2015. Ocena liczebności ptaków lęgowych w Polsce w latach 2008–2012. Ornis Pol. 56: 149–189.

- Chodkiewicz T., Neubauer G., Sikora A., Ławicki Ł., Meissner W., Bobrek R., Cenian Z., Bzoma S., Betleja J., Kuczyński L., Moczarska J., Rohde Z., Rubacha S., Wieloch M., Wylegała P., Zielińska M., Zieliński P., Chylarecki P. 2018. Monitoring Ptaków Polski w latach 2016–2018. Biul. Monitoringu Przyrody 17: 1–90.
- Chodkiewicz T., Chylarecki P., Sikora A., Wardecki Ł., Bobrek R., Neubauer G., Marchowski D., Dmoch A., Kuczyński L. 2019. Raport z wdrażania art. 12 Dyrektywy Ptasiej w Polsce w latach 2013–2018: stan, zmiany, zagrożenia. Biul. Monitoringu Przyrody 20: 1–80.
- Chylarecki P., Chodkiewicz T., Neubauer G., Sikora A., Meissner W., Woźniak B., Wylegała P., Ławicki Ł., Marchowski D., Betleja J., Bzoma S., Cenian Z., Górski A., Korniluk M., Moczarska J., Ochocińska D., Rubacha S., Wieloch M., Zielińska M., Zieliński P., Kuczyński L. 2018. Trendy liczebności ptaków w Polsce. GIOŚ, Warszawa.
- Cichocki W., Stępniewski K. 2016. Pomurnik *Tichodroma muraria*. W: Wilk T., Bobrek R., Pępkowska-Król A., Neubauer G., Kosicki J. (red.) 2016. Ptaki polskich Karpat – stan, zagrożenia, ochrona. OTOP, Marki.
- Czubat A., Świerad R., Łopion R. 2021. Lęg sokoła wędrownego *Falco peregrinus* na Górnym Śląsku. Ptaki Śląska 27: 71–74.
- Dyrz A. 2020. Wodniczka. Monografie przyrodnicze. Wyd. Klubu Przyrodników, Świebodzin.
- Keller V., Herrando S., Voříšek P., Franch M., Kipson M., Milanese P., Martí D., Anton M., Klvaňová A., Kalyakin M. V., Bauer H-G., Floppen R. P. B. 2020. European Bird Atlas 2. Distribution, Abundance and Change. European Bird Census Council & Lynx Edicions, Barcelona.
- Komisja Faunistyczna 2017. Rzadkie ptaki obserwowane w Polsce w roku 2016. Orn. Pol. 58: 83–116.
- Komisja Faunistyczna 2018. Rzadkie ptaki obserwowane w Polsce w roku 2017. Orn. Pol. 59: 119–153.
- Komisja Faunistyczna 2019. Rzadkie ptaki obserwowane w Polsce w roku 2018. Orn. Pol. 60: 125–160.
- Komisja Faunistyczna & Kartoteka Rzadkich Ptaków 2018. Komunikat o powołaniu Kartoteki Rzadkich Ptaków w Polsce. Orn. Pol. 59: 297–299.
- Krajewski Ł. 2016. Wybrane elementy biologii lęgowej pliszki cytrynowej *Motacilla citreola* na Bagnach Biebrzańskich. Orn. Pol. 57: 1–11.
- Kucharska K., Dyduch M. 2019. Pierwszy przypadek lęgu mandarynki *Aix galericulata* w województwie śląskim. Ptaki Śląska 26: 123–126.
- Matyjasik Ł., Przybyliński T., Sawicki G., Wasiak S. 2019. Ponowne gniazdowanie uszatki błotnej *Asio flammeus* na Nizinie Mazowieckiej. Kulon 24: 88–91.
- Mazgajski D.T., Mazgajska J. 2004. Egzotyczne ptaki w miastach Europy. Fauna miast Europy Środkowej 21. wieku. Wyd. LOGO, Bydgoszcz.
- Meissner W., Bzoma S. 2009. Pierwsze lęgi bernikli kanadyjskiej *Branta canadensis* w Polsce oraz problemy związane ze wzrostem jej liczebności na świecie. Not. Orn. 50: 21–28.
- Meissner W., Bzoma S., Zięcik P., Wybraniec M. 2014. Gniazdowanie rybitwy czubatej *Sterna sandvicensis* w Polsce w latach 2006–2013. Orn. Pol. 55: 96–104.
- Mizera T., Sielicki J. 2009. Breeding status of the Peregrine Falcon in Poland during the pre- and post-DDT era. W: Sielicki J., Mizera T. (eds). Peregrine Falcon populations – status and perspectives in the 21st century, ss. 153–168. Turul-Poznań University of Life Sciences Press, Warsaw–Poznań.
- MPP 2019. Wyniki Monitoringu Ptaków Polski w 2019 roku. Główny Inspektorat Ochrony Środowiska. <https://monitoringptakow.gios.gov.pl/raporty.html>.
- Półtorak W., Sikora A. 2007. Bernikla kanadyjska *Branta canadensis*. W: Sikora A., Rohde Z., Grodzki M., Neubauer G., Chylarecki P. (red.) Atlas rozmieszczenia ptaków lęgowych Polski 1985–2004. Bogucki Wyd. Nauk., Poznań, s. 528.
- Rojek M., Stajszczyk M. 2008. Pierwsze stwierdzenie lęgu gęsiówki egipskiej *Alopochen aegyptiaca* w Polsce. Ptaki Śląska 17: 79–82.
- Sikora A., Beuch S., Ławicki Ł., Wylegała P., Neubauer G., Betleja J., Bzoma S., Cenian Z., Czechowski P., Czyż S., Dębowski P., Dylak A., Górski A., Grygoruk G., Jankowski K., Kajzer Z.,

- Krupiński D., Matyjasiak Ł., Smyk B., Sielicki S., Stasiak K., Wardecki Ł., Wężyk M., Wieloch M., Woźniak B., Zielińska M., Zieliński M., Chodkiewicz T. 2020. Kartoteka Rzadkich Ptaków w Polsce w roku 2018 – gatunki lęgowe. *Ornis Pol.* 61: 259–283.
- Stawarczyk T., Cofa T., Kajzer Z., Lontkowski J., Sikora A. 2017. Rzadkie ptaki Polski. Studio B&W Wojciech Janecki, Sosnowiec.
- Stępniewski K., Cichocki W. 2011. Rozmieszczenie, liczebność i preferencje siedliskowe pomurnika *Tichodroma muraria* w polskich Tatrach. *Chrońmy Przyr. Ojcz.* 67: 399–414.
- Stowarzyszenie Na Rzecz Dzikich Zwierząt Sokół 2019. Podsumowanie sezonu 2019 – lęgi naturalne i reintrodukcje. <https://www.peregrinus.pl/pl/aktualnosci/474-podsumowanie-sezonu-2019-legi-naturalne-i-reintrodukcje>.
- Stój M. 2019. Populacja orła przedniego *Aquila chrysaetos* w polskich Karpatach w latach 2016–2018. *Chrońmy Przyr. Ojcz.* 75: 16–29.
- Szeląg Ł., Beuch S., Gwóźdź R. 2018. Aleksandretta obroźna *Psittacula krameri* nowym gatunkiem lęgowym w Polsce. *Ptaki Śląska* 25: 155–160.
- Tomiałojć L., Stawarczyk T. 2003. Awifauna Polski: rozmieszczenie, liczebność i zmiany. PTPP „pro Natura”, Wrocław.
- Wardecki Ł., Chodkiewicz T., Beuch S., Smyk B., Sikora A., Neubauer G., Meissner W., Marchowski D., Wylegała P., Chylarecki P. 2021. Monitoring Ptaków Polski w latach 2018–2021. *Biul. Monitoringu Przyrody* 22: 1–80.
- Wilk T. 2016. Kryteria lęgowości ptaków – materiały pomocnicze. Wersja 3 – 16.02.2016. OTOP, Marki. https://www.ornitho.pl/index.php?m_id=1184&item=4.
- Wilk T., Bobrek R., Pępkowska-Król A., Neubauer G., Kosicki J. 2016. Ptaki polskich Karpat – stan, zagrożenia, ochrona. OTOP, Marki.
- Wilk T., Chodkiewicz T., Sikora A., Chylarecki P., Kuczyński L. 2020. Czerwona lista ptaków Polski. OTOP, Marki.
- Zbyryt A. 2019. Numbers and distribution of breeding population of the Great Egret *Ardea alba* in Poland. *Ornis Pol.* 60: 235–244.
- Żmihorski M., Ławicki Ł., Marchowski D., Wylegała P., Pärt T. 2016. Spatial variation in long-term trends in a metapopulation of the globally threatened Aquatic Warbler *Acrocephalus paludicola* in Poland. *Acta Ornithol.* 51: 245–256.

Errata do tekstu „Kartoteka Rzadkich Ptaków w Polsce w roku 2018 – gatunki lęgowe” (*Ornis Polonica* 2020, 61: 259–283)

Łabędź krzykliwy

Str. 264, tab. 4 – powinno być: Rozpowszechnienie gatunku wynosiło 3,9%

Str. 264 – zamienić tabelę 4 na poniższą

	DS	GS	KU	LD	LL	MP	MZ	PL	PM	SW	WM	WP	ZL	Razem (4)
N par (1)	30	2	7	1	2	8	9	17	42	5	33	17	5	178
N pow. (2)	11	1	5	1	2	7	9	15	35	3	24	11	4	128
Rozp. (%) (3)	4,0	0,7	4,0	0,7	0,9	1,7	2,2	7,2	6,9	2,1	9,7	3,1	3,2	3,9

Mewa czarnogłowa

Str. 269 – zamienić tabelę 9 na poniższą

	DS	GS	KU	LD	LL	MP	MZ	PL	PM	SW	WM	WP	ZL	Razem (4)
N par (1)	8	45	2				9			2	13	7		86
N pow. (2)	3	2	1				3			1	3	1		14
Rozp. (%) (3)	1,1	1,5	0,8				0,7			0,7	1,2	0,3		0,4